# Sensoriamento Remoto Aplicado à Geografia

# Sensores

Prof. Dr. Fernando Shinji Kawakubo

# Registro da REM

- ❖ A REM ao interagir com o objeto sofre reflexão, absorção e transmissão.
- ❖ A parcela da REM refletida que chega no sensor (fluxo radiante) é convertida em um sinal.
- ❖ O sensor registra o sinal (fluxo radiante proveniente do alvo) de maneira ANALÓGICA ou ELETRÔNICA.
- O Fluxo radiante é expresso em unidade física, que posteriormente é convertido em unidades de bits.

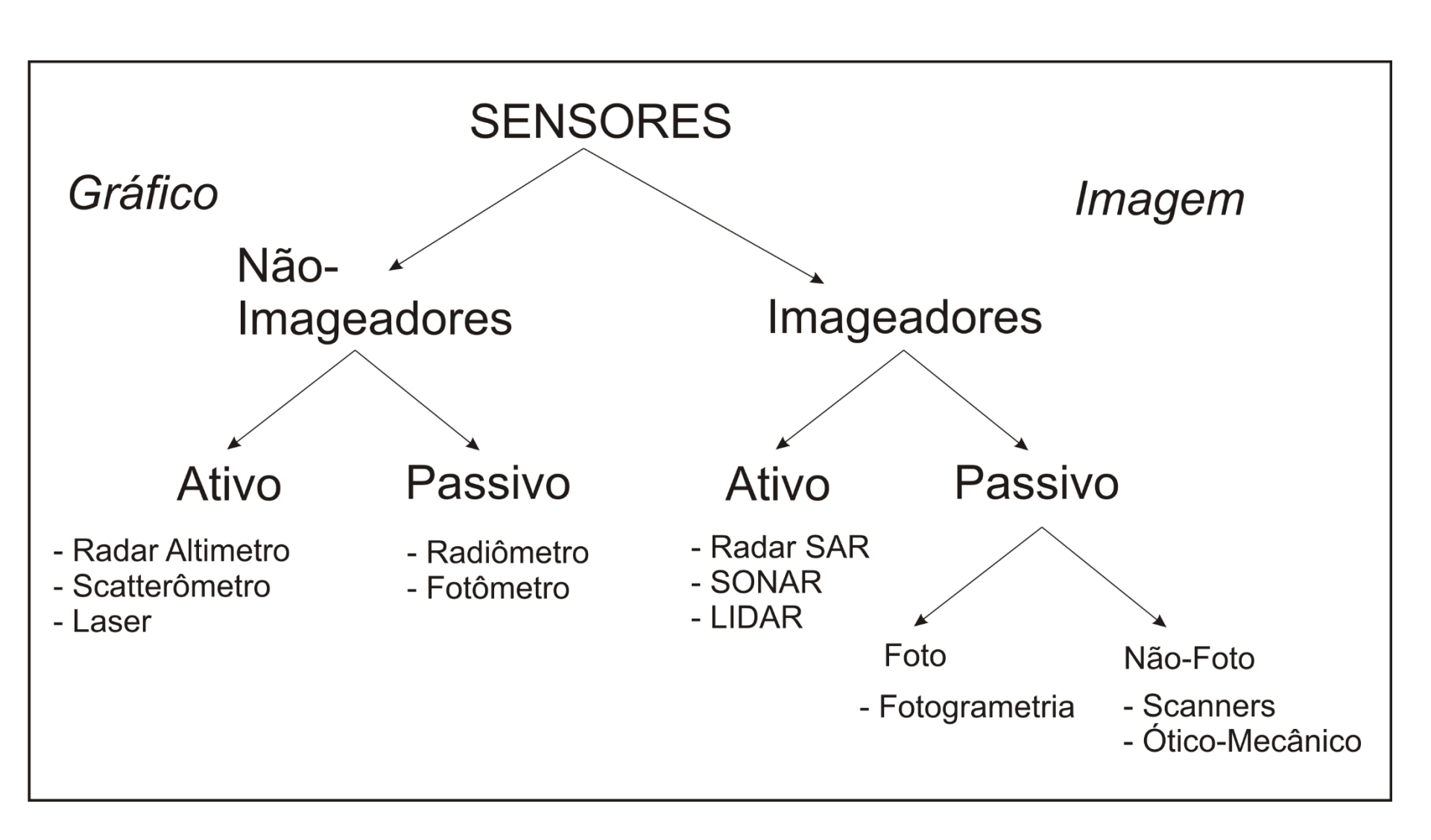
# Registro da REM <u>Definição de SENSOR</u>

- Equipamento utilizado para para captar a REM proveniente dos diferentes objetos e transformar esta radiação em algum sinal passível de ser interpretado;
  - ❖ Focalizar a REM proveniente de um objeto sobre um sistema de dispersão (prisma, rede de difração), capaz de decompor a REM em diferentes comprimentos de onda;
    - ❖ Detectar a REM em cada comprimento de onda;

Fonte: Souza Filho

### Registro da REM

# <u>Classificação de SENSORES quanto ao tipo de instrumento</u>



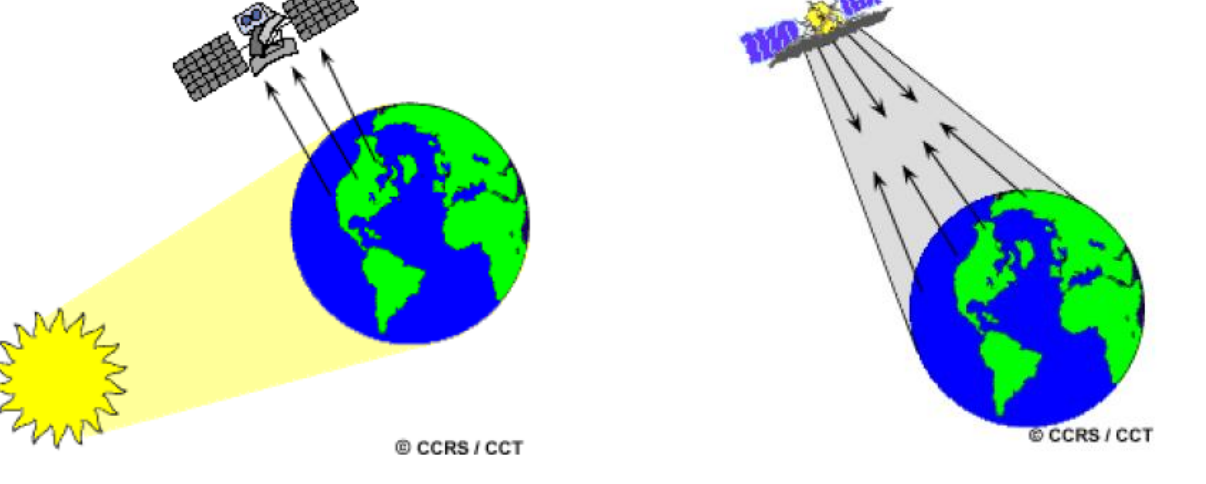
# Registro da REM <u>Tipos de SENSORES (Fonte de Radiação)</u>

Sensores Passivos: utilizam a radiação solar refletida ou emitida. Ex. Fotografia aérea, videografia, imagens adquiridas no visíve e infravermelho.

Sensores Ativos: possuem fonte própria de energia.

Ex. Sistema de radar SAR, LIDAR etc. Os sistemas SAR (radar de abertura sintética) operam nas faixas das

microndas.



# Radar (Radio Detecting and Ranging) de Abertura Sintética – SAR (Synthetic Aperture Radar)

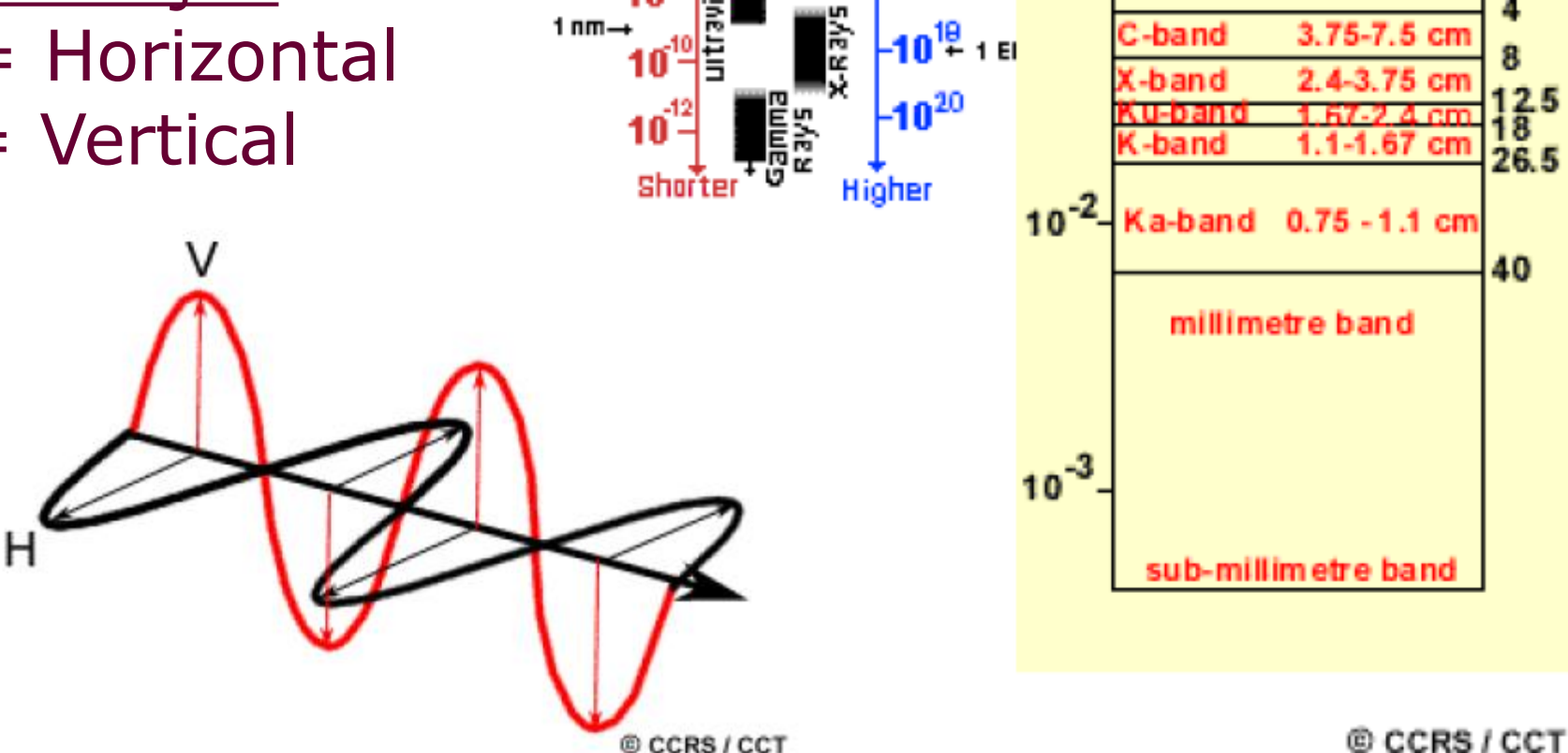
- Opera na faixa de comprimento de onda das micro-ondas.
- Imageamento em visada lateral.
- Mede rugosidade, geometria, umidade e propriedades elétricas dos objetos.
- Sofre pouca interferência dos efeitos atmosféricos.
- Capacidade de penetração da radiação.
- Polarização da onda.
- ❖ RADAMBRASIL

### Faixas das micro-ondas

<u>Polarização</u>

H = Horizontal

V = Vertical



@ CCRS / CCT

Wavelength (m)

 $1 \text{ km} \rightarrow$ 

1 m →1.0 -

1cm **→10**°2

1 μm →10<sup>6</sup>-

1 nm→

10<sup>4</sup>-

Longer

Frequency (Hz)

**1-10**<sup>4+1</sup> KH

-10<sup>6</sup>+1MF

-10<sup>8</sup>

-10<sup>14</sup>

-10<sup>19</sup> 1 EI

-1015 1 Ft 10-1

Lower

Micgr Waye

Visible

Microwaves

Frequency

(GHz)

30-1 00 cm

15-30 cm

7.5-15 cm

3.75-7.5 cm

0.3

Wavelength

(metres)

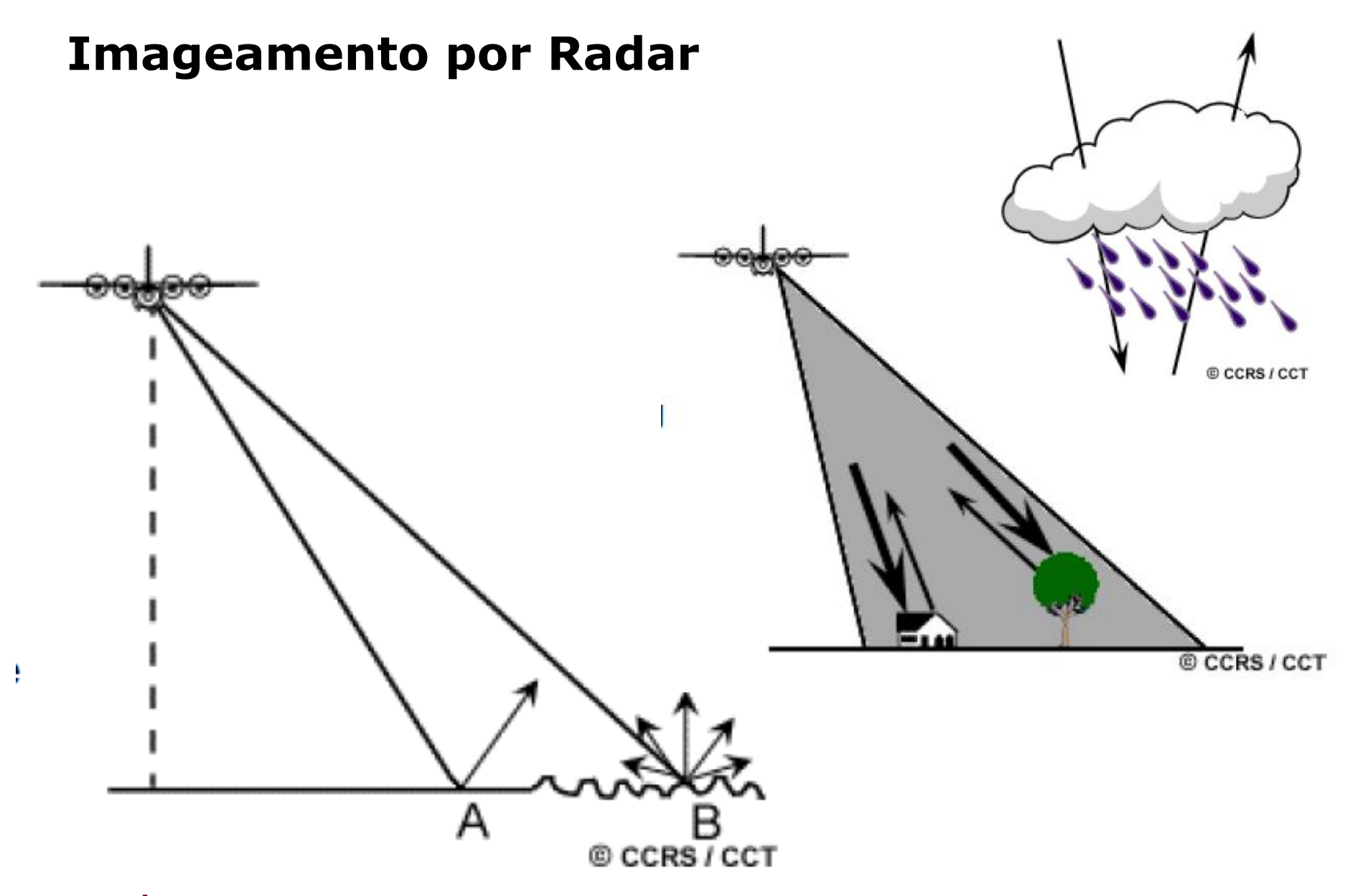
P-band

.-band

8-band

-band

-band



Superfície lisa = pouco retorno de sinal para a antena SAR. Superfície rugosa = maior retorno de sinal para a antena SAR.

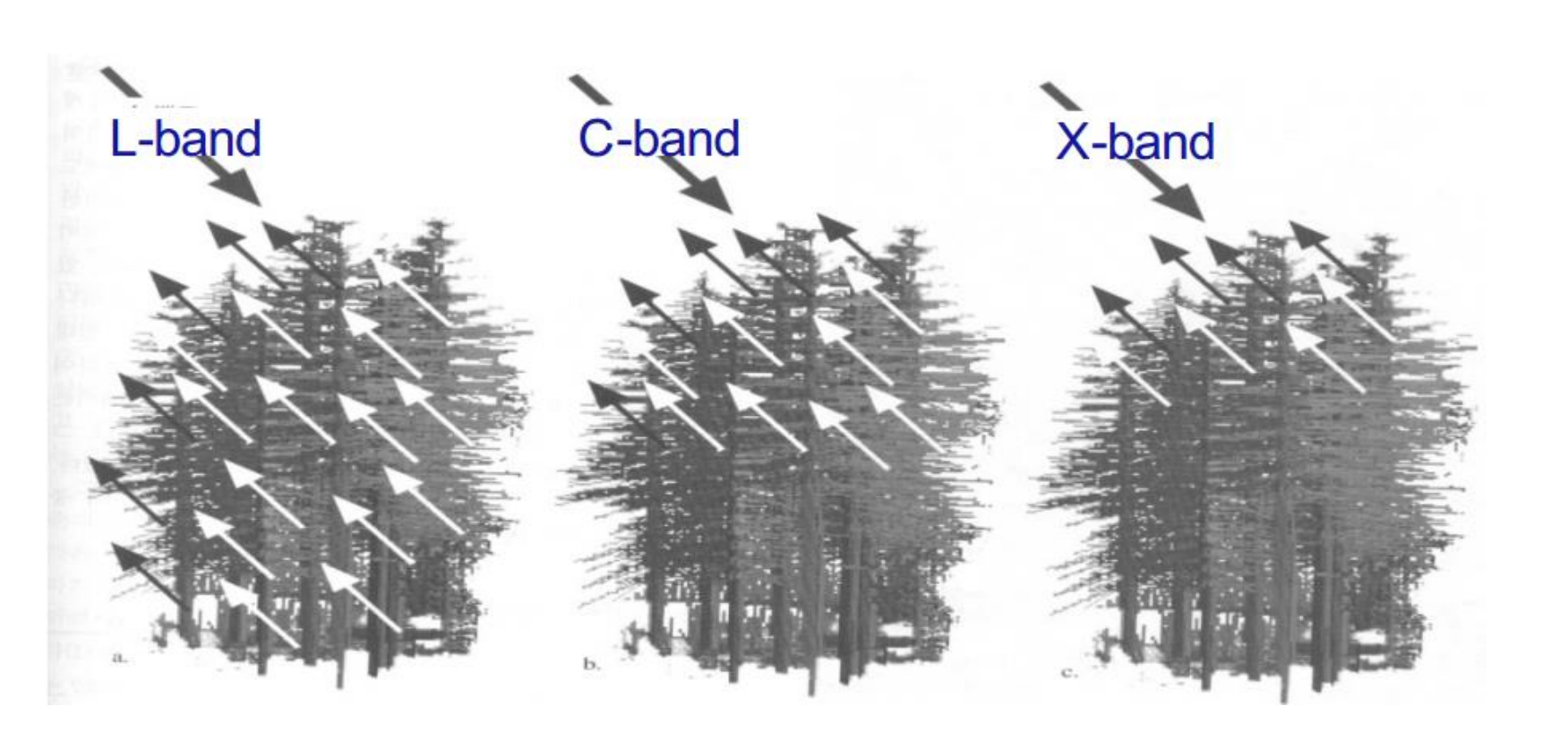
### **Principais Sistemas Orbitais SAR**

Tabela 1. Principais sistemas orbitais com SAR. Melhor resolução em metros (range; azimute). Do SEASAT ao PALSAR-1 as missões foram completadas (fonte: atualização de Ouchi 2013).

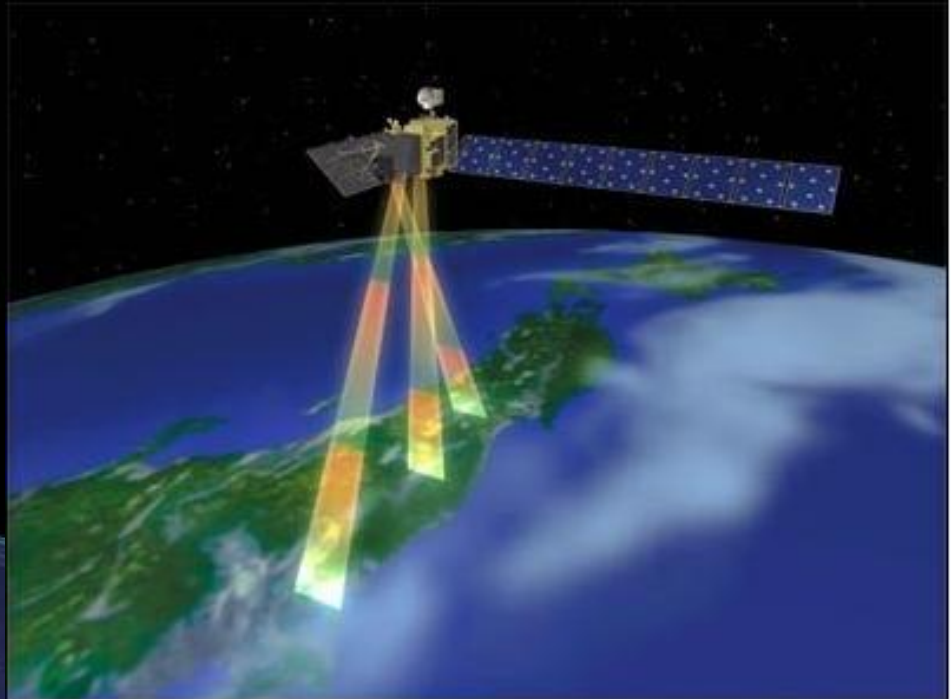
satélite         agência/país         ano         banda         resolução         polarização         peso kg           SEASAT         NASA/EUA         1978         L         6, 25         HH         2.290           SIR-A         NASA/EUA         1981         L         7; 25         HH         idem           SIR-B         NASA/EUA         1984         L         6; 13         HH         idem           ERS-1         ESA         1991         C         5; 25         VV         2.400           ERS-2         ESA         1991         C         5; 25         VV         2.400           ALMAZ         URSS         1991         S         8; 15         HH         3.420           JERS-1         NASDA/Japão         1992         L         6; 18         HH         1.400           SIR-C/         NASA/EUA,         L, C         7, 5; 13         Quad         VV         11.000           SRTM         DLR/Alemanha         1994         X         6; 10         VV         11.000           SRTM         NASA/EUA         2000         C         15; 8         Dual         13.600           SRTM         NASA/EUA         2000 <td< th=""><th></th><th></th><th></th><th></th><th></th><th></th><th></th></td<>							
SIR-A         NASA/EUA         1981         L         7; 25         HH         idem           SIR-B         NASA/EUA         1984         L         6; 13         HH         idem           ERS-1         ESA         1991         C         5; 25         VV         2.400           ERS-2         ESA         1995         5; 25         VV         2.400           ALMAZ         URSS         1991         S         8; 15         HH         3.420           JERS-1         NASDA/Japão         1992         L         6; 18         HH         1.400           SIR-C/         NASA/EUA, ASI/Itália         L, C         7, 5; 13         Quad         VV         11.000           RADARSAT-1         CSA/Canadá         1995         C         8; 8         HH         3.000           SRTM         NASA/EUA         2000         C         15; 8         Dual         13.600           SRTM         NASA/EUA         2000         C         15; 8         Dual         13.600           ASAR         ESA         2002         C         10; 30         Dual         8.211           PALSAR-1         JAXA/Japão         2006         L         5;	satélite	agência/país	ano	banda	resolução	polarização	peso kg
SIR-B         NASA/EUA         1984         L         6; 13         HH         idem           ERS-1         ESA         1991         C         5; 25         VV         2.400           ERS-2         ESA         1995         5; 25         VV         2.400           ALMAZ         URSS         1991         S         8; 15         HH         3.420           JERS-1         NASDA/Japão         1992         L         6; 18         HH         1.400           SIR-C/         NASA/EUA,         L, C         7, 5; 13         Quad           X-SAR         DLR/Alemanha         1994         X         6; 10         VV         11.000           SRTM         NASA/EUA         2000         C         15; 8         Dual         13.600           SRTM         NASA/EUA         2000         C         15; 8         Dual         13.600           ASAR         ESA         2002         C         10; 30         Dual         8.211           PALSAR-1         JAXA/Japão         2006         L         5; 10         Quad         3.850           SAR LUPE         Alemanha         2006/08         X         0,5; 0,5         Quad         770 <td>SEASAT</td> <td>NASA/EUA</td> <td>1978</td> <td>L</td> <td>6; 25</td> <td>HH</td> <td>2.290</td>	SEASAT	NASA/EUA	1978	L	6; 25	HH	2.290
ERS-1         ESA         1991         C         5; 25         VV         2.400           ERS-2         ESA         1995         5; 25         VV         2.400           ALMAZ         URSS         1991         S         8; 15         HH         3.420           JERS-1         NASDA/Japão         1992         L         6; 18         HH         1.400           SIR-C/         NASA/EUA, ASI/Itália         L, C         7, 5; 13         Quad           X-SAR         DLR/Alemanha ASI/Itália         1994         X         6; 10         VV         11.000           SRTM         NASA/EUA DLR/Alemanha         2000         C         15; 8         Dual         13.600           SRTM         NASA/EUA DLR/Alemanha         2000         C         15; 8         Dual         13.600           ASAR         ESA         2002         C         10; 30         Dual         8.211           PALSAR-1         JAXA/Japão         2006         L         5; 10         Quad         3.850           SAR LUPE         Alemanha         2006/08         X         0,5; 0,5         Quad         770           RADARSAT-2         CSA/Canadá         2007 <t< td=""><td>SIR-A</td><td>NASA/EUA</td><td>1981</td><td>L</td><td>7; 25</td><td>HH</td><td>idem</td></t<>	SIR-A	NASA/EUA	1981	L	7; 25	HH	idem
ERS-2         ESA         1995         5; 25         VV         2.400           ALMAZ         URSS         1991         S         8; 15         HH         3.420           JERS-1         NASDA/Japão         1992         L         6; 18         HH         1.400           SIR-C/         NASA/EUA,         L, C         7, 5; 13         Quad           X-SAR         DLR/Alemanha         1994         X         6; 10         VV         11.000           RADARSAT-1         CSA/Canadá         1995         C         8; 8         HH         3.000           SRTM         NASA/EUA         2000         C         15; 8         Dual         13.600           SRTM         NASA/EUA         2000         C         15; 8         Dual         13.600           ASAR         ESA         2002         C         10; 30         Dual         8.211           PALSAR-1         JAXA/Japão         2006         L         5; 10         Quad         3.850           SAR LUPE         Alemanha         2006/08         X         0,5; 0,5         Quad         770           RADARSAT-2         CSA/Canadá         2007         C         3; 3         Quad	SIR-B	NASA/EUA	1984	L	6; 13	HH	idem
ALMAZ         URSS         1991         S         8; 15         HH         3.420           JERS-1         NASDA/Japão         1992         L         6; 18         HH         1.400           SIR-C/         NASA/EUA,         L, C         7, 5; 13         Quad           X-SAR         DLR/Alemanha         1994         X         6; 10         VV         11.000           RADARSAT-1         CSA/Canadá         1995         C         8; 8         HH         3.000           SRTM         NASA/EUA         2000         C         15; 8         Dual         13.600           DLR/Alemanha         X         8; 19         VV         V           ASAR         ESA         2002         C         10; 30         Dual         8.211           PALSAR-1         JAXA/Japão         2006         L         5; 10         Quad         3.850           SAR LUPE         Alemanha         2006/08         X         0,5; 0,5         Quad         770           RADARSAT-2         CSA/Canadá         2007         C         3; 3         Quad         2.200           Cosmo-Skymed         ASI/Itália         2007-10         X         1; 1         Quad <t< td=""><td>ERS-1</td><td>ESA</td><td>1991</td><td>C</td><td>5; 25</td><td>VV</td><td>2.400</td></t<>	ERS-1	ESA	1991	C	5; 25	VV	2.400
JERS-1   NASDA/Japão   1992   L   6; 18   HH   1.400     SIR-C/   NASA/EUA,   L, C   7, 5; 13   Quad     X-SAR   DLR/Alemanha   1994   X   6; 10   VV   11.000     RADARSAT-1   CSA/Canadá   1995   C   8; 8   HH   3.000     SRTM   NASA/EUA   2000   C   15; 8   Dual   13.600     DLR/Alemanha   X   8; 19   VV     ASAR   ESA   2002   C   10; 30   Dual   8.211     PALSAR-1   JAXA/Japão   2006   L   5; 10   Quad   3.850     SAR LUPE   Alemanha   2006/08   X   0,5; 0,5   Quad   770     RADARSAT-2   CSA/Canadá   2007   C   3; 3   Quad   2.200     Cosmo-Skymed   ASI/Itália   2007-10   X   1; 1   Quad   1.700     TerraSAR-X   DLR/Alemanha   2009   X   1; 1   Quad   1.230     RISAT-1   ISRO/INDIA   2012   C   3; 3   Quad   1.858     KOMPSAT-5   KARI/Coreia Sul   2013   X   1; 1   Quad   1.400     SENTINEL-1   ESA   2014   C   5; 5   Dual   2.300	ERS-2	ESA	1995		5; 25	VV	2.400
SIR-C/	ALMAZ	URSS	1991	S	8; 15	HH	3.420
X-SAR	JERS-1	NASDA/Japão	1992	L	6; 18	HH	1.400
ASI/Itália   RADARSAT-1   CSA/Canadá   1995   C   8; 8   HH   3.000	SIR-C/	NASA/EUA,		L, C	7, 5; 13	Quad	
RADARSAT-1         CSA/Canadá         1995         C         8; 8         HH         3.000           SRTM         NASA/EUA         2000         C         15; 8         Dual         13.600           DLR/Alemanha         X         8; 19         VV           ASAR         ESA         2002         C         10; 30         Dual         8.211           PALSAR-1         JAXA/Japão         2006         L         5; 10         Quad         3.850           SAR LUPE         Alemanha         2006/08         X         0,5; 0,5         Quad         770           RADARSAT-2         CSA/Canadá         2007         C         3; 3         Quad         2.200           Cosmo-Skymed         ASI/Itália         2007-10         X         1; 1         Quad         1.700           TerraSAR-X         DLR/Alemanha         2007         X         1; 1         Quad         1.230           TanDEM-X         DLR/Alemanha         2009         X         1; 1         Quad         1.230           RISAT-1         ISRO/INDIA         2012         C         3; 3         Quad         1.858           KOMPSAT-5         KARI/Coreia Sul         2014         C	X-SAR	DLR/Alemanha	1994	X	6; 10	VV	11.000
SRTM         NASA/EUA DLR/Alemanha         2000         C X         15; 8 y 19         Dual VV         13.600           ASAR         ESA         2002         C 10; 30         Dual 8.211           PALSAR-1         JAXA/Japão 2006         L 5; 10         Quad 3.850           SAR LUPE         Alemanha 2006/08         X 0,5; 0,5         Quad 770           RADARSAT-2         CSA/Canadá 2007         C 3; 3         Quad 2.200           Cosmo-Skymed         ASI/Itália 2007-10         X 1; 1         Quad 1.700           TerraSAR-X         DLR/Alemanha 2007         X 1; 1         Quad 1.230           TanDEM-X         DLR/Alemanha 2009         X 1; 1         Quad 1.230           RISAT-1         ISRO/INDIA 2012         C 3; 3         Quad 1.858           KOMPSAT-5         KARI/Coreia Sul 2013         X 1; 1         Quad 1.400           SENTINEL-1         ESA         2014         C 5; 5         Dual 2.300		ASI/Itália					
DLR/Alemanha   X   8, 19   VV	RADARSAT-1	CSA/Canadá	1995	C	8; 8	HH	3.000
ASAR         ESA         2002         C         10; 30         Dual         8.211           PALSAR-1         JAXA/Japão         2006         L         5; 10         Quad         3.850           SAR LUPE         Alemanha         2006/08         X         0,5; 0,5         Quad         770           RADARSAT-2         CSA/Canadá         2007         C         3; 3         Quad         2.200           Cosmo-Skymed         ASI/Itália         2007-10         X         1; 1         Quad         1.700           TerraSAR-X         DLR/Alemanha         2007         X         1; 1         Quad         1.230           TanDEM-X         DLR/Alemanha         2009         X         1; 1         Quad         1.230           RISAT-1         ISRO/INDIA         2012         C         3; 3         Quad         1.858           KOMPSAT-5         KARI/Coreia Sul         2013         X         1; 1         Quad         1.400           SENTINEL-1         ESA         2014         C         5; 5         Dual         2.300	SRTM	NASA/EUA	2000	С	15; 8	Dual	13.600
PALSAR-1         JAXA/Japão         2006         L         5; 10         Quad         3.850           SAR LUPE         Alemanha         2006/08         X         0,5; 0,5         Quad         770           RADARSAT-2         CSA/Canadá         2007         C         3; 3         Quad         2.200           Cosmo-Skymed         ASI/Itália         2007-10         X         1; 1         Quad         1.700           TerraSAR-X         DLR/Alemanha         2007         X         1; 1         Quad         1.230           TanDEM-X         DLR/Alemanha         2009         X         1; 1         Quad-         1.230           RISAT-1         ISRO/INDIA         2012         C         3; 3         Quad-         1.858           KOMPSAT-5         KARI/Coreia Sul         2013         X         1; 1         Quad-         1.400           SENTINEL-1         ESA         2014         C         5; 5         Dual-         2.300		DLR/Alemanha		X	8; 19	VV	
SAR LUPE         Alemanha         2006/08         X         0,5; 0,5         Quad         770           RADARSAT-2         CSA/Canadá         2007         C         3; 3         Quad         2.200           Cosmo-Skymed         ASI/Itália         2007-10         X         1; 1         Quad         1.700           TerraSAR-X         DLR/Alemanha         2007         X         1; 1         Quad         1.230           TanDEM-X         DLR/Alemanha         2009         X         1; 1         Quad-         1.230           RISAT-1         ISRO/INDIA         2012         C         3; 3         Quad-         1.858           KOMPSAT-5         KARI/Coreia Sul-         2013         X         1; 1         Quad-         1.400           SENTINEL-1         ESA         2014         C         5; 5         Dual-         2.300	ASAR	ESA	2002	C	10; 30	Dual	8.211
RADARSAT-2         CSA/Canadá         2007         C         3; 3         Quad         2.200           Cosmo-Skymed         ASI/Itália         2007-10         X         1; 1         Quad         1.700           TerraSAR-X         DLR/Alemanha         2007         X         1; 1         Quad         1.230           TanDEM-X         DLR/Alemanha         2009         X         1; 1         Quad-         1.230           RISAT-1         ISRO/INDIA         2012         C         3; 3         Quad         1.858           KOMPSAT-5         KARI/Coreia Sul         2013         X         1; 1         Quad         1.400           SENTINEL-1         ESA         2014         C         5; 5         Dual         2.300	PALSAR-1	JAXA/Japão	2006	L	5; 10	Quad	3.850
Cosmo-Skymed         ASI/Itália         2007-10         X         1; 1         Quad         1.700           TerraSAR-X         DLR/Alemanha         2007         X         1; 1         Quad         1.230           TanDEM-X         DLR/Alemanha         2009         X         1; 1         Quad-         1.230           RISAT-1         ISRO/INDIA         2012         C         3; 3         Quad         1.858           KOMPSAT-5         KARI/Coreia Sul         2013         X         1; 1         Quad         1.400           SENTINEL-1         ESA         2014         C         5; 5         Dual         2.300	SAR LUPE	Alemanha	2006/08	X	0,5; 0,5	Quad	770
TerraSAR-X         DLR/Alemanha         2007         X         1; 1         Quad         1.230           TanDEM-X         DLR/Alemanha         2009         X         1; 1         Quad-         1.230           RISAT-1         ISRO/INDIA         2012         C         3; 3         Quad         1.858           KOMPSAT-5         KARI/Coreia Sul         2013         X         1; 1         Quad         1.400           SENTINEL-1         ESA         2014         C         5; 5         Dual         2.300	RADARSAT-2	CSA/Canadá	2007	C	3; 3	Quad	2.200
TanDEM-X         DLR/Alemanha         2009         X         1; 1         Quad-         1.230           RISAT-1         ISRO/INDIA         2012         C         3; 3         Quad         1.858           KOMPSAT-5         KARI/Coreia Sul         2013         X         1; 1         Quad         1.400           SENTINEL-1         ESA         2014         C         5; 5         Dual         2.300	Cosmo-Skymed	ASI/Itália	2007-10	X	1; 1	Quad	1.700
RISAT-1         ISRO/INDIA         2012         C         3; 3         Quad         1.858           KOMPSAT-5         KARI/Coreia Sul         2013         X         1; 1         Quad         1.400           SENTINEL-1         ESA         2014         C         5; 5         Dual         2.300	TerraSAR-X	DLR/Alemanha	2007	X	1; 1	Quad	1.230
KOMPSAT-5         KARI/Coreia Sul         2013         X         1; 1         Quad         1.400           SENTINEL-1         ESA         2014         C         5; 5         Dual         2.300	TanDEM-X	DLR/Alemanha	2009	X	1; 1	Quad-	1.230
SENTINEL-1 ESA 2014 C 5; 5 Dual 2.300	RISAT-1	ISRO/INDIA	2012	С	3; 3	Quad	1.858
	KOMPSAT-5	KARI/Coreia Sul	2013	X	1; 1	Quad	1.400
PALSAR-2 JAXA 2014 L 3, 1 Quad 2.000	SENTINEL-1	ESA	2014	С	5; 5	Dual	2.300
	PALSAR-2	JAXA	2014	L	3, 1	Quad	2.000

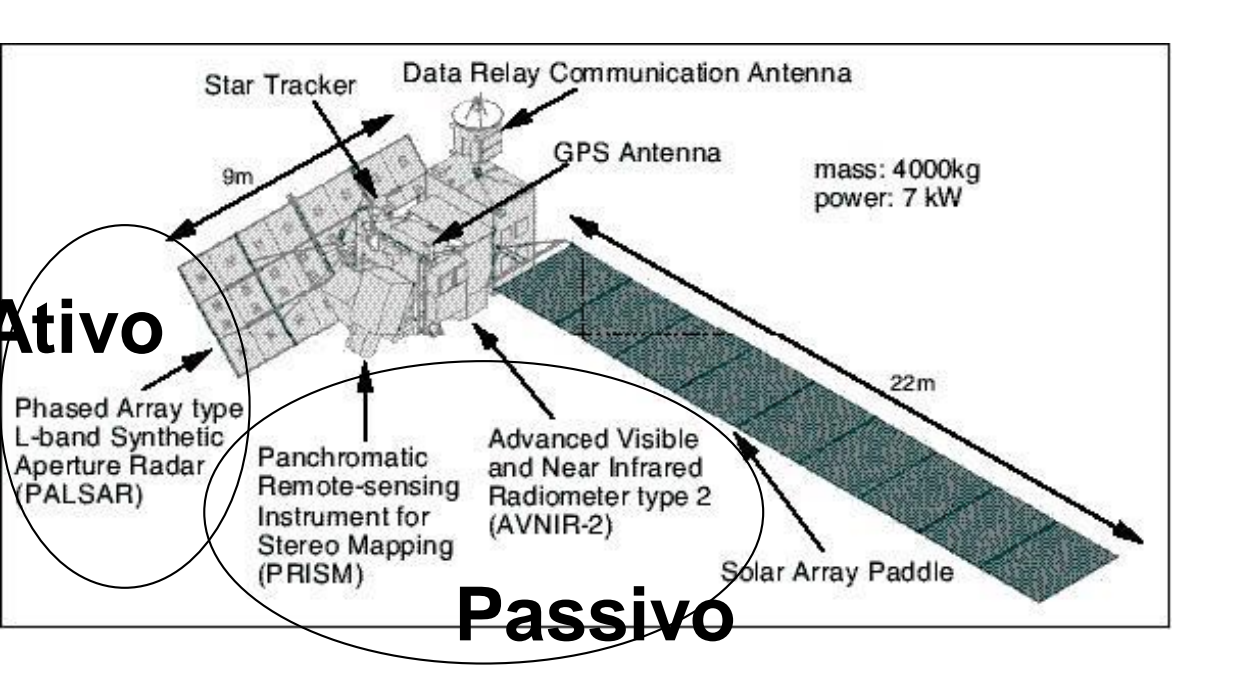
Paradella et al. 2015

### Poder de Penetração do Radar SAR

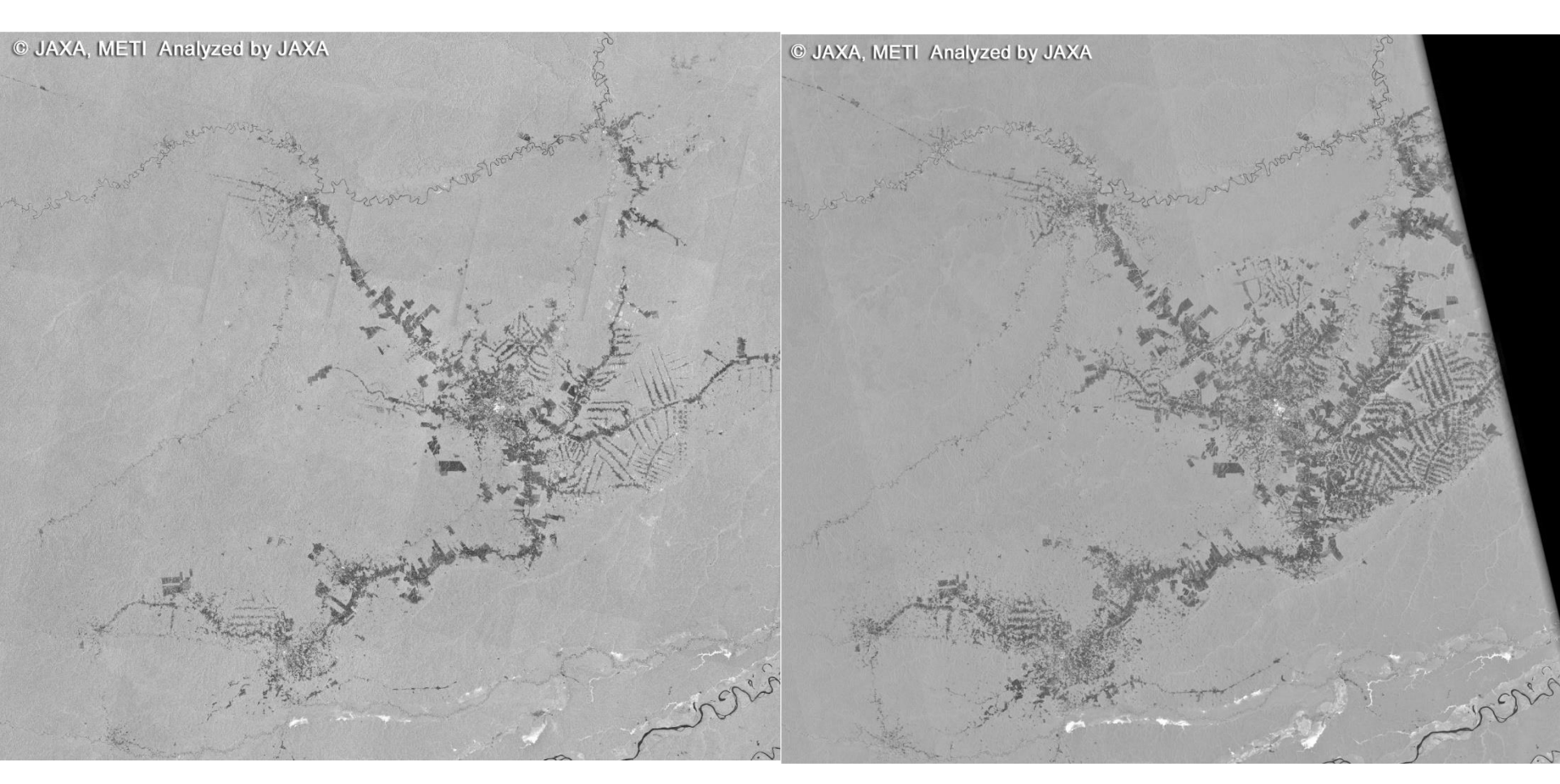








### Imagens de Radar do JERS e PALSAR na Amazônia Brasileira



JERS-1995

ALOS-PALSAR-2006

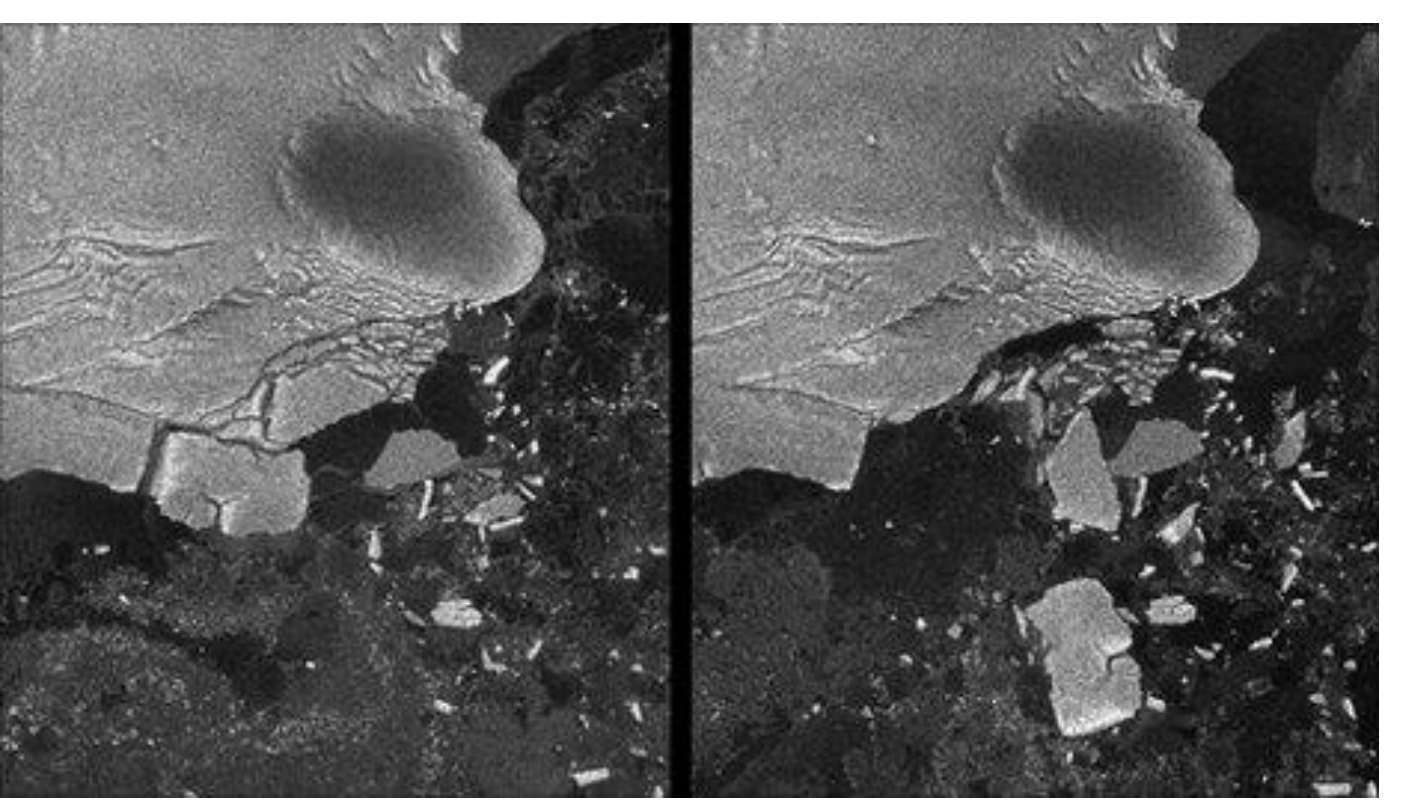
#### **RADARSAT**



Exsudações de óleo (manchas pretas circulares) detectadas em imagem RADARSAT ScanSAR Narrow do Green Canyon, Golfo do Mexico

http://www.threetek.com.br/oleo\_apl.php

#### **ENVISAT ASAR**



Images captured by Envisat on 12 (I) and the 16 (r) of March show ice breaking off into the sea

BRUNT et al. Antarctic ice-shelf calving triggered by the Honshu (Japan) earthquake and tsunami, March 2011. Journal of Glaciology, Vol. 57, No. 205 2011

Time (UTC)

11 March 2011 — N / 25 km

M=9.0 Earthquake

Honshu, Japan 05.46 UTC Projected Rayleigh Seismic Surface Wave

06.45 UTC

SAR: 12.30 UTC SAR: 14.06 UTC

Projected Antarctic Tsunami 00.00 UTC

12 March 2011



SAR: 11.52 UTC\_ SAR: 13.34 UTC

SAR: 15.10 UTC



14 March 2011 -

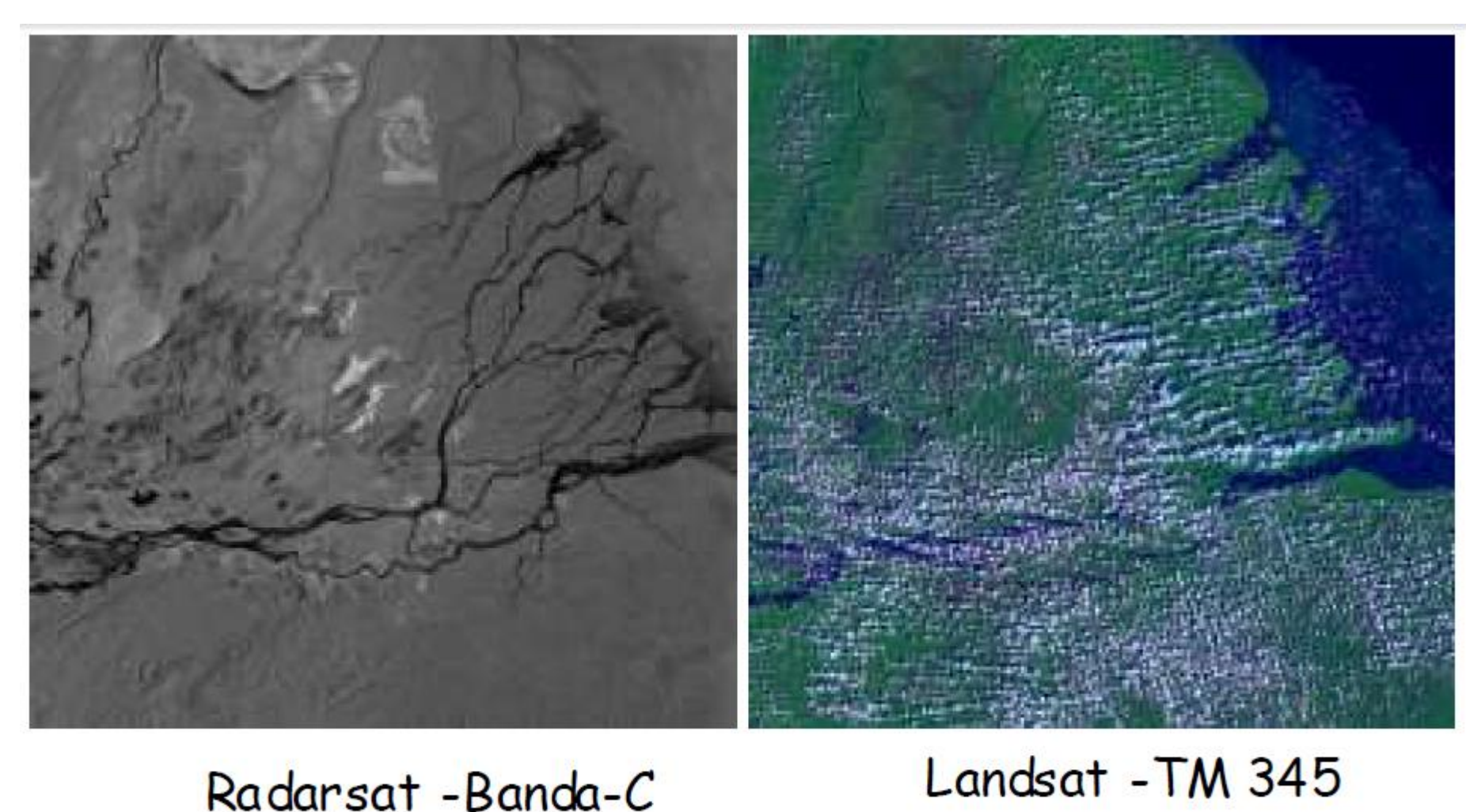


SAR: 12.57 UTC
SAR: 13.14 UTC

iceberg 2
iceberg 1

ENVISAT ASAR

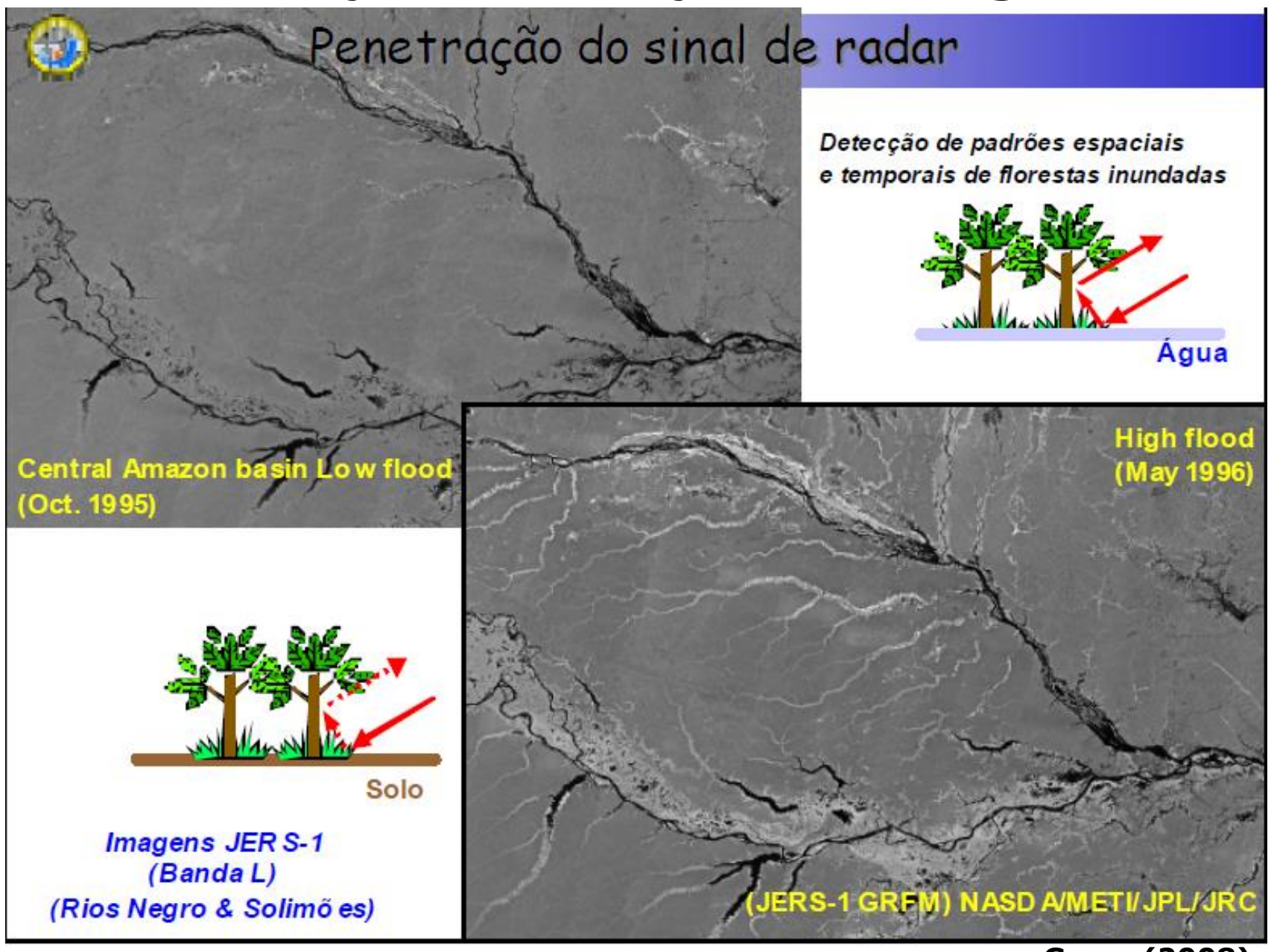
### Pouca Interferência Atmosférica



20 1 100 100 1 mm 10 mm 10 cm 1 mm 10 cm 1 mm

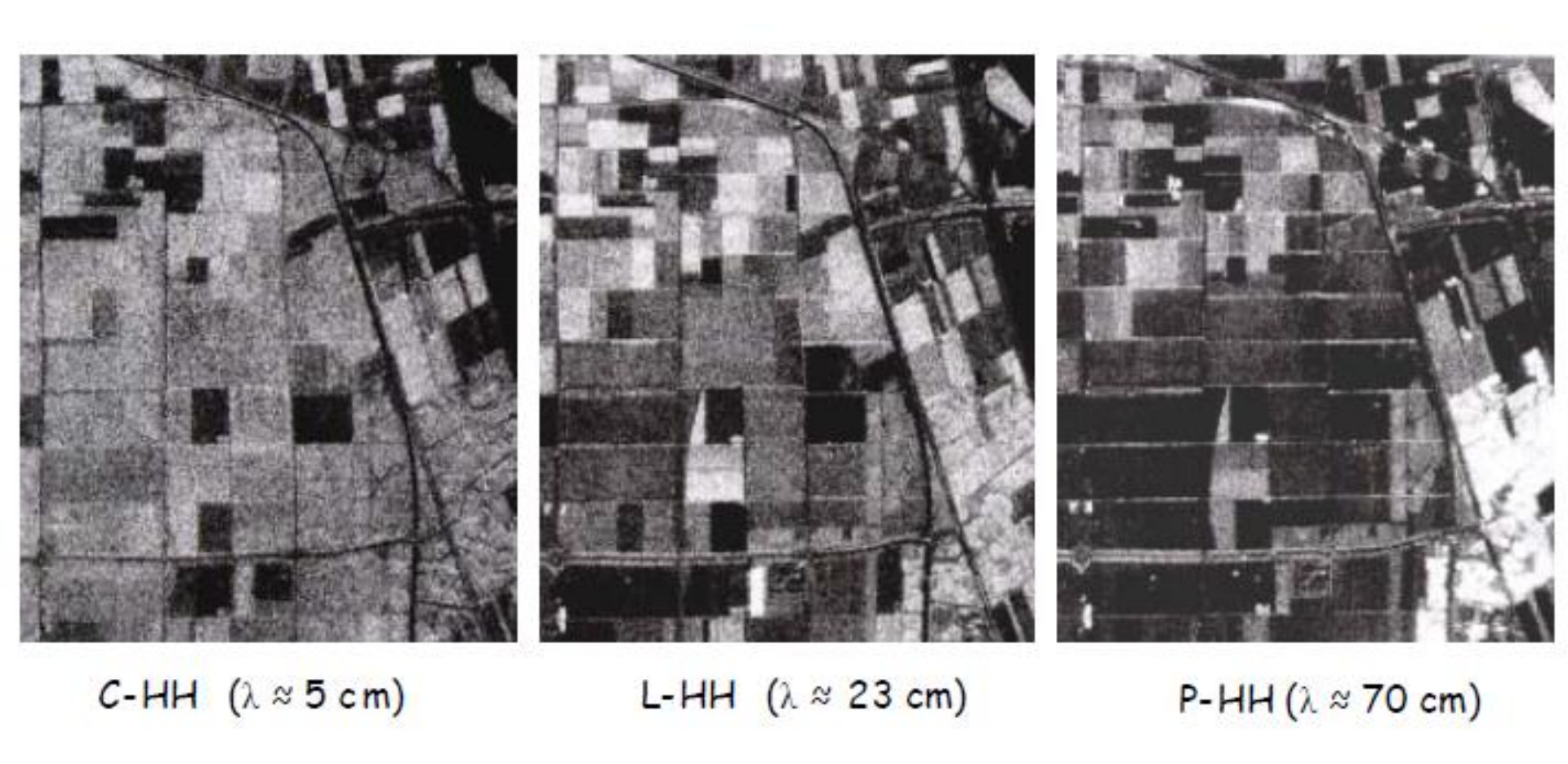
8 Gama (2008)

### Penetração e Interação com a Água



Gama (2008)

### Polarização HH em diferentes bandas



Frevoland - Holanda (AirSAR - NASA/JPL)

Gama (2008)

### Composição RGB com diferentes polarizações

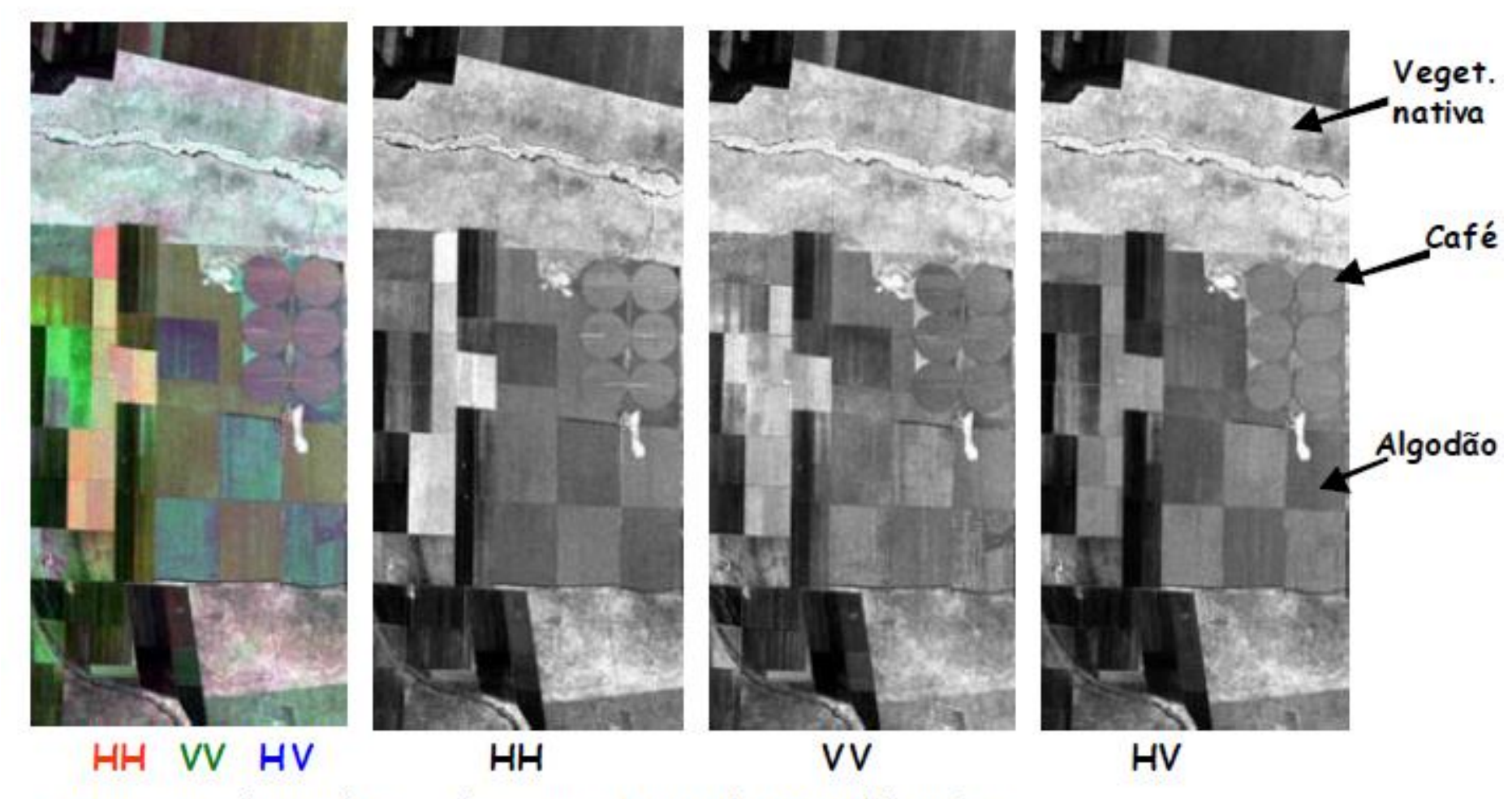
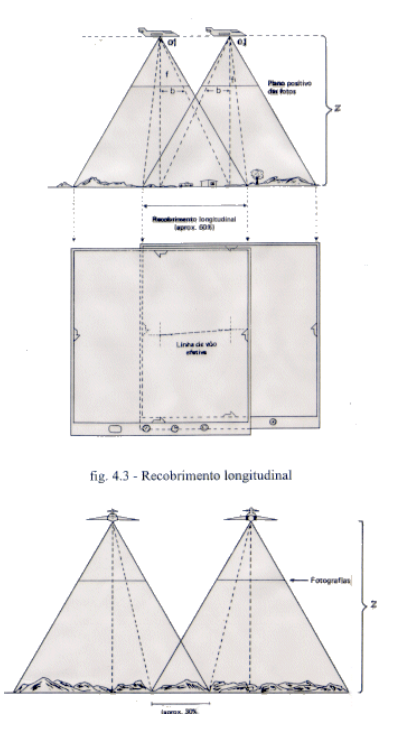


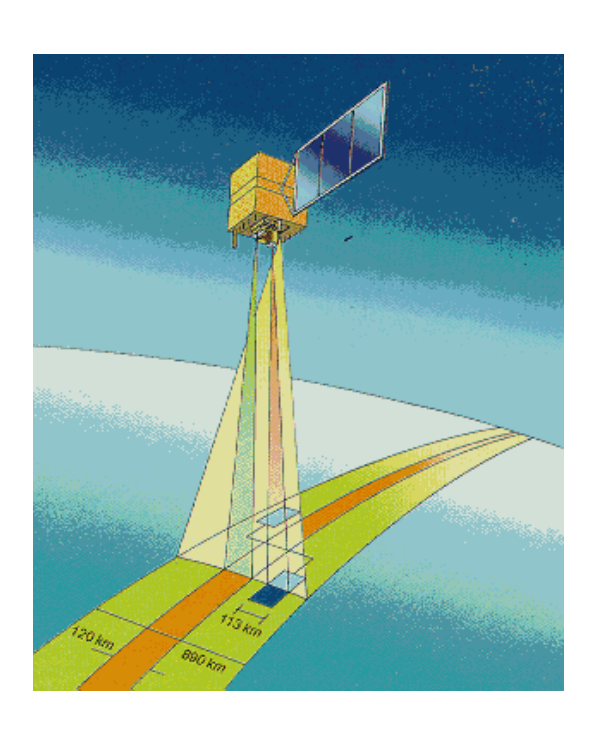
Imagem Polarimétrica do sens or R99B (SIPAM) banda L

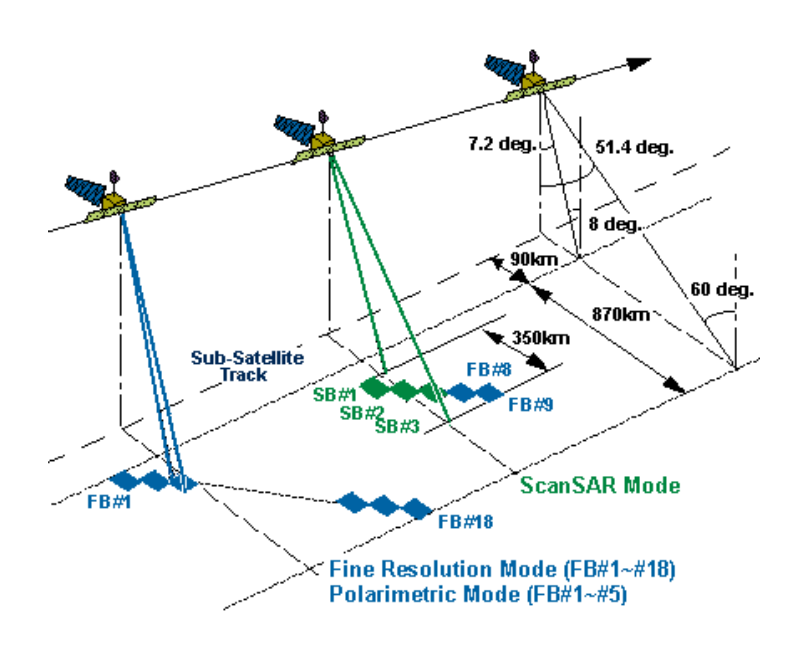
- Região de Barreiras (BA)

### PRINCIPAIS TIPOS DE SISTEMAS SENSORES

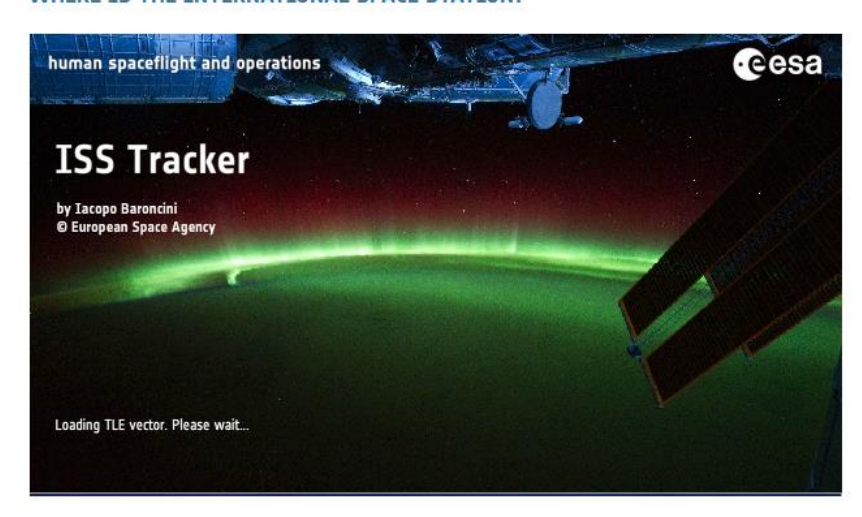
- Câmeras Fotográficas
- Scanners (Sistemas de Varredura Eletrônica)
- \* Radares Imageadores SAR







#### WHERE IS THE INTERNATIONAL SPACE STATION?



http://www.ustream.tv/channel/iss-hdev-payload

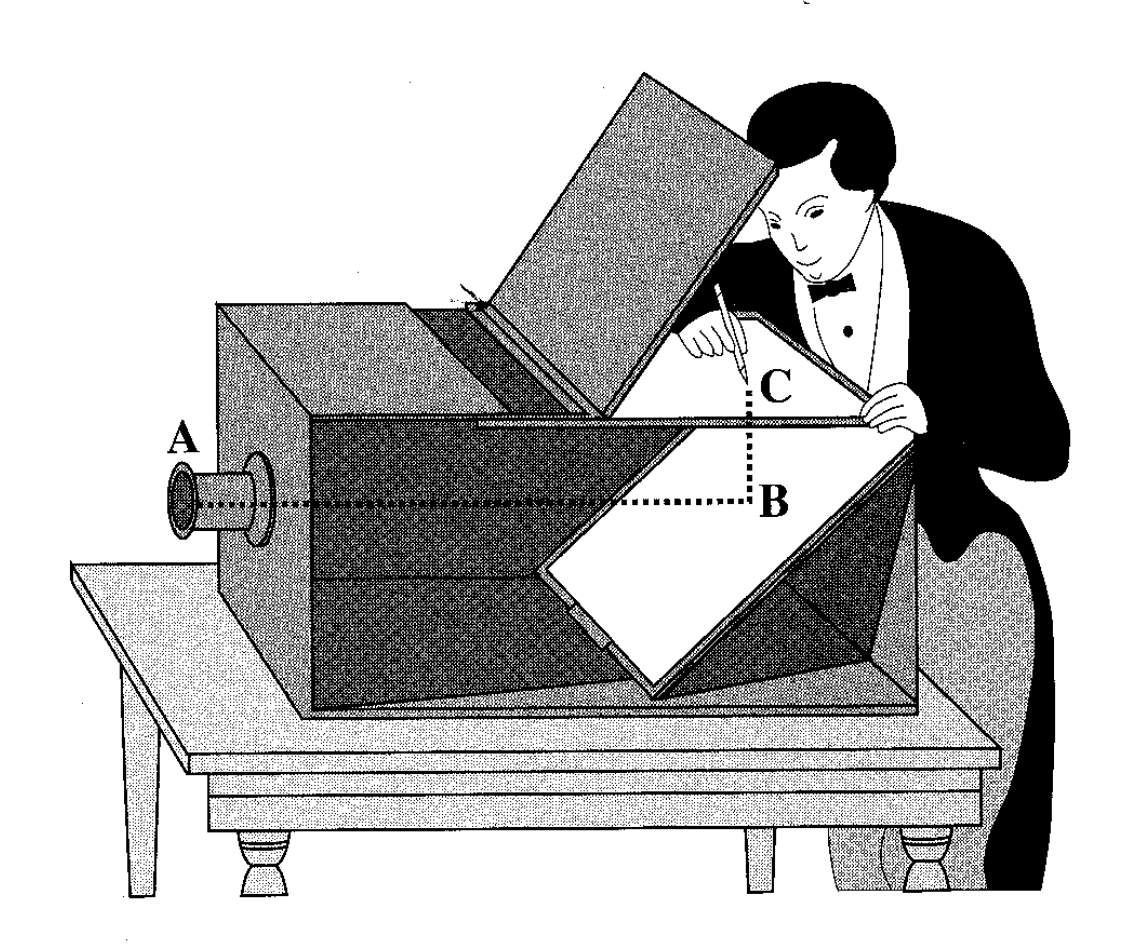
# EarthNow! Landsat Image Viewer



Now Showing: Landsat 7

http://earthnow.usgs.gov/earthnow\_app.htm

# Fotogrametria





### O que é Fotogrametria?

De acordo com ASPRS\* (1966), é a arte, ciência e tecnologia de obter informações de confiança a respeito de objetos e fenômenos do meio ambiente através do registro, medição e interpretação de imagens fotográficas.

ASPRS = American Society for Photogrammetry and Remote Sensing

### O que é Fotogrametria?

A fotogrametria pode ser dividida em duas grandes áreas:

- Fotogrametria métrica: consiste em realizar medições na foto (distância, área, volume, elevação etc.), elaborar cartas planialtimétricas, mosaicos, ortofotos etc.
- Fotogrametria interpretativa: tem como objetivo o reconhecimento e identificação dos objetos presentes na fotografia.

### **Aerolevantamento**

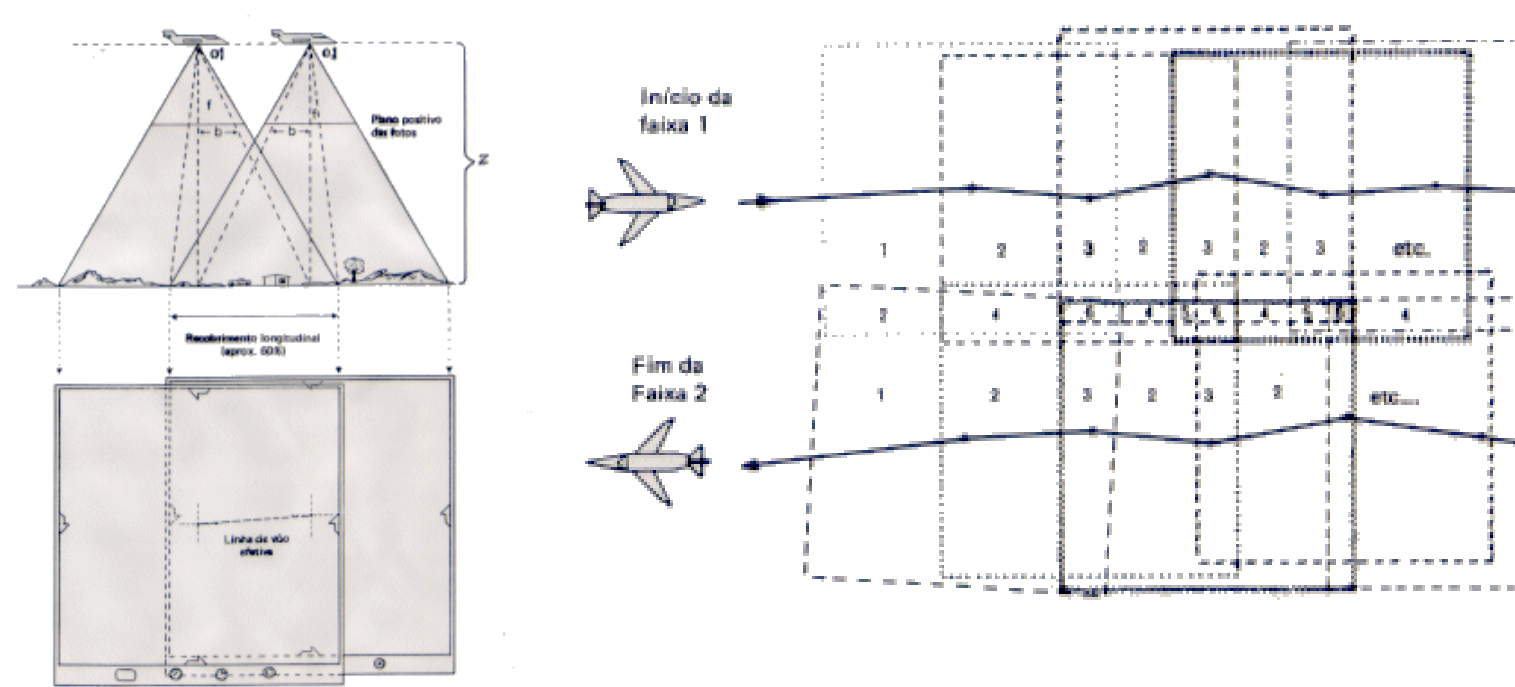
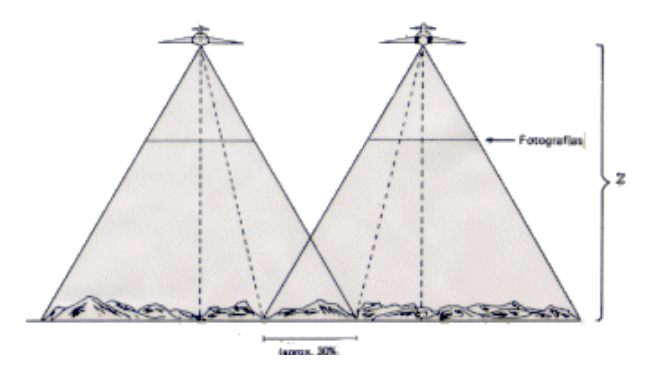
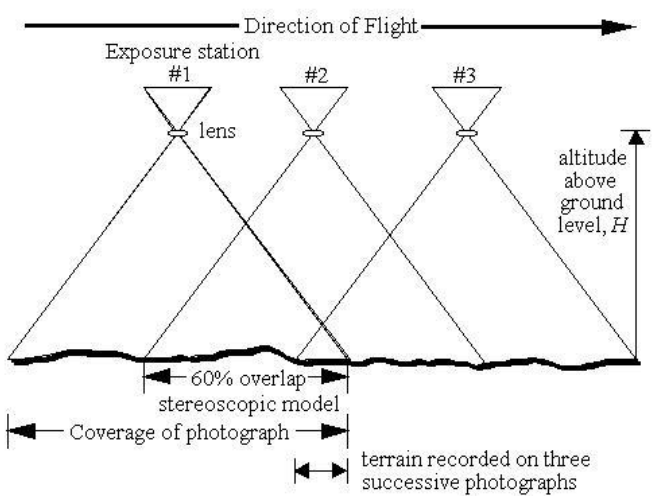
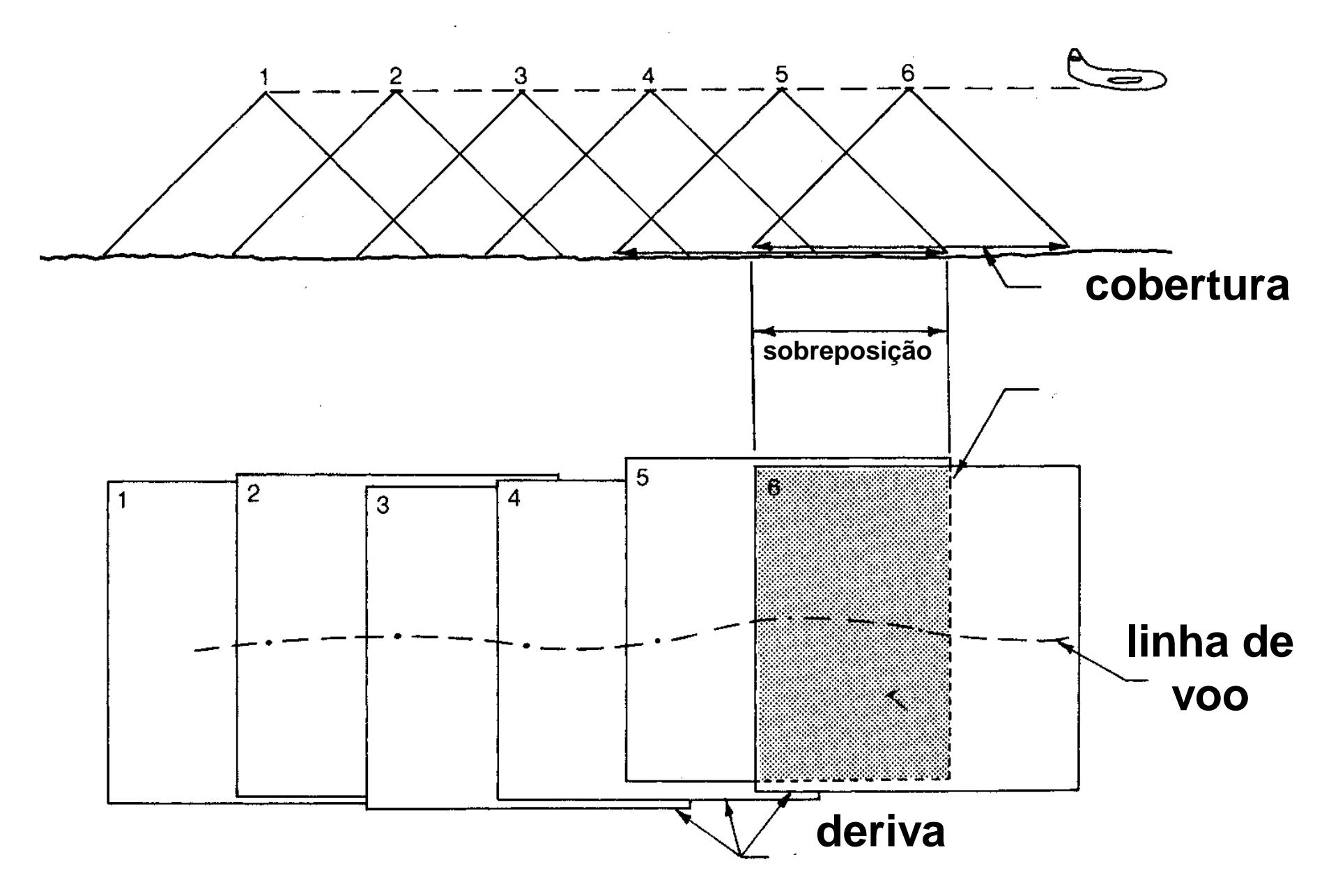


fig. 4.3 - Recobrimento longitudinal

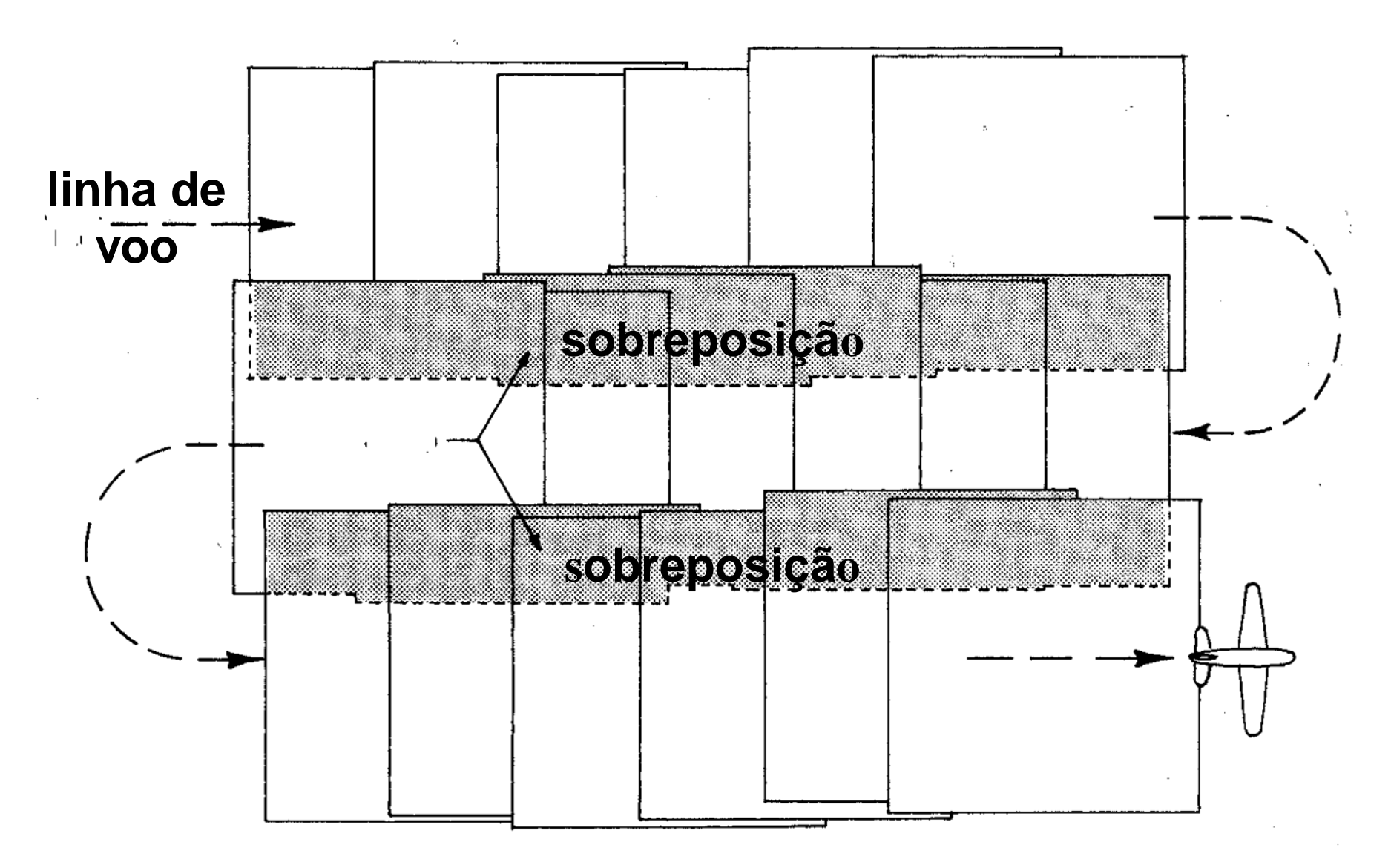




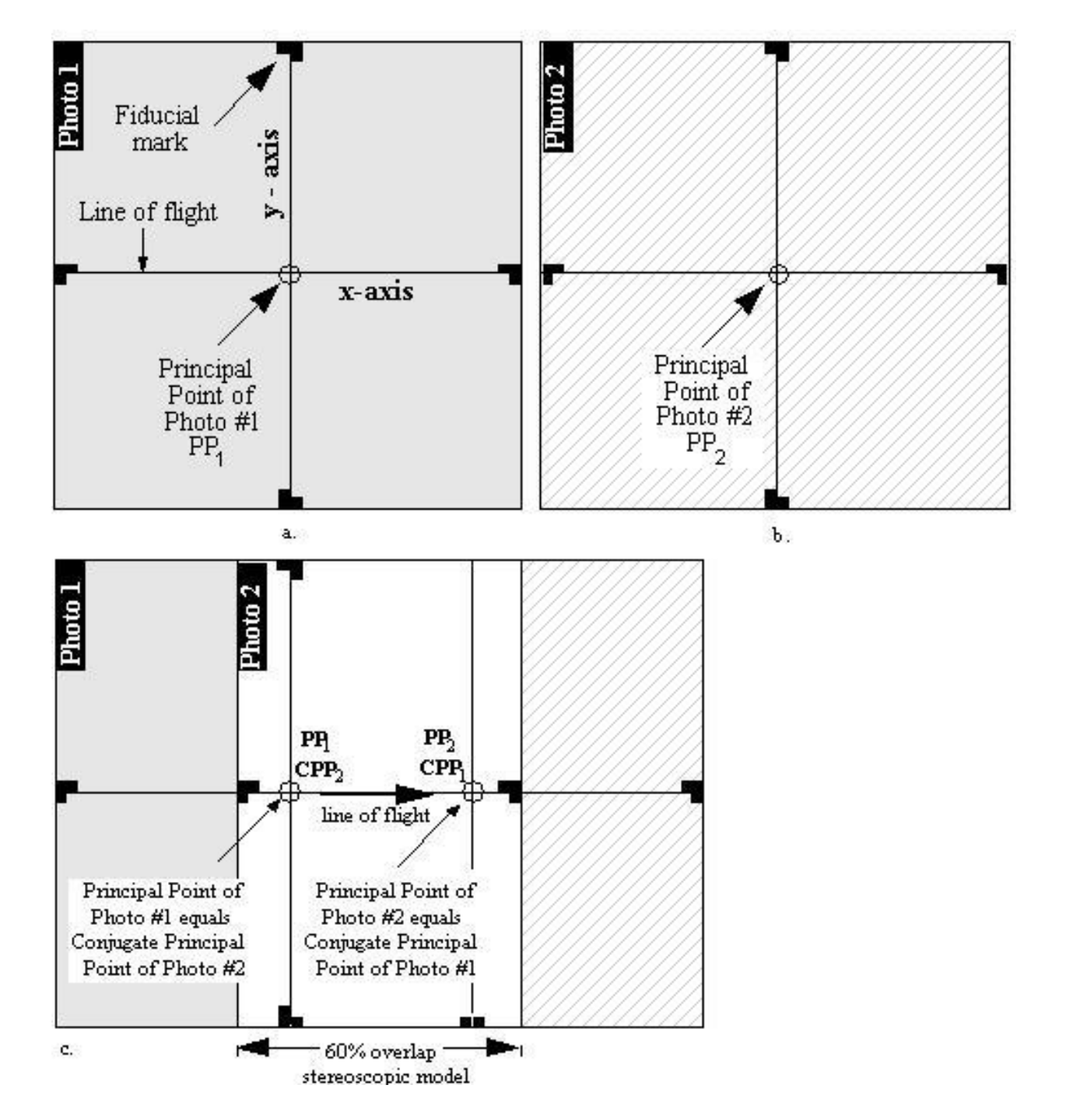
# Fotografias Aéreas – Linha de Voo



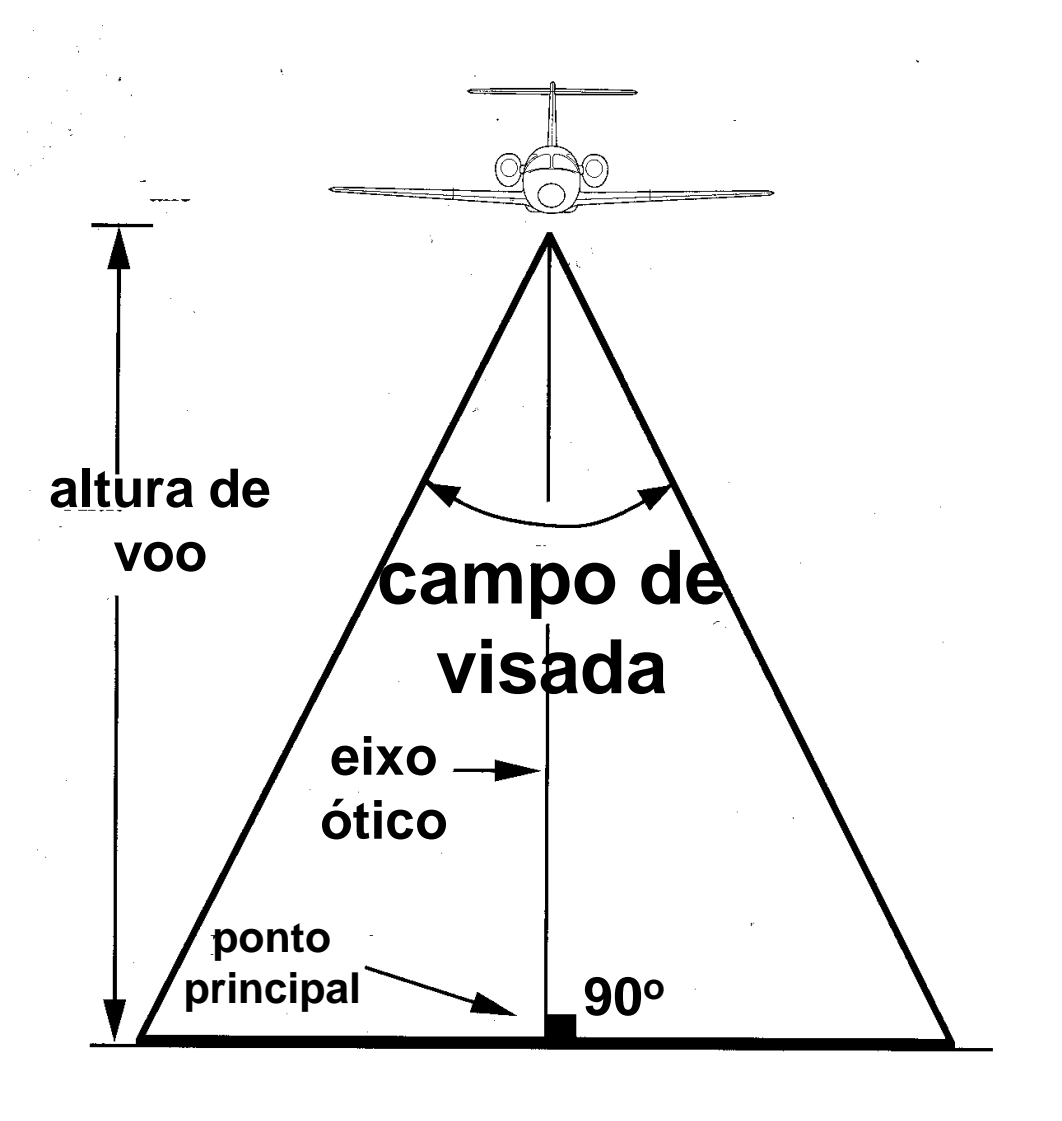
## Fotografias Aéreas – Faixas de Voo



### Marcas Fiduciais



### Fotografias Aéreas - Vertical





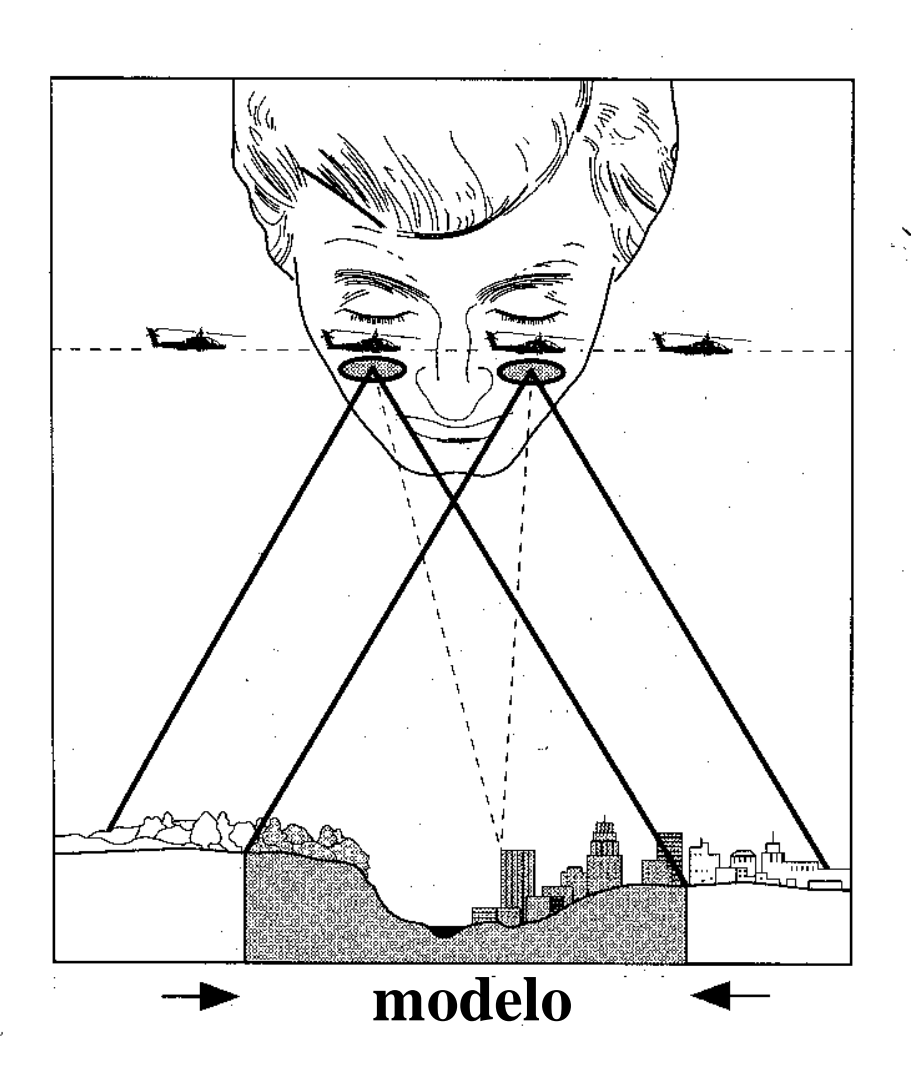
### O que é Estereoscopia?

- ❖ É a propriedade que estuda os métodos e técnicas que permitem a visão em perspectiva.
- Os métodos de julgamento da profundidade são classificados em:

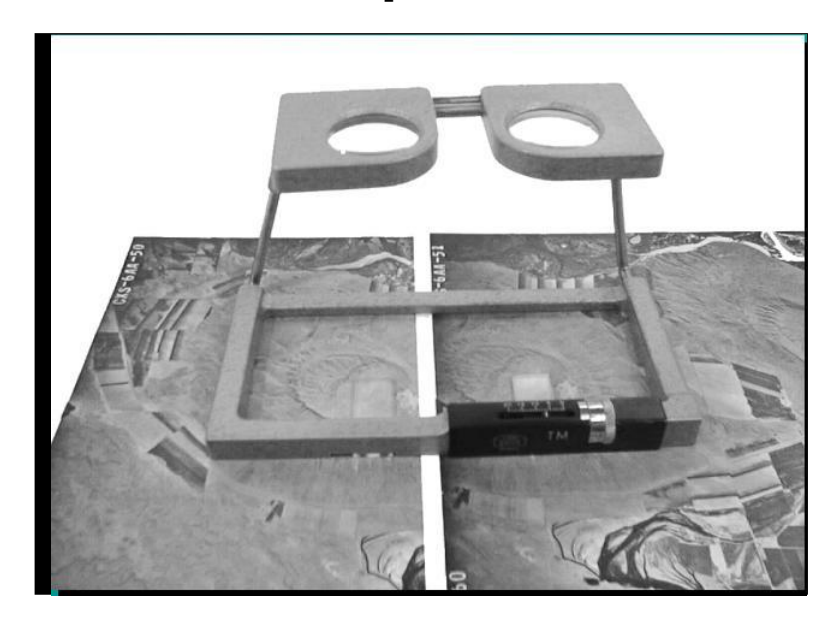
Estereoscópico: visão binocular

Monoscópico: visão monocular

# **Modelo Estereoscópico**



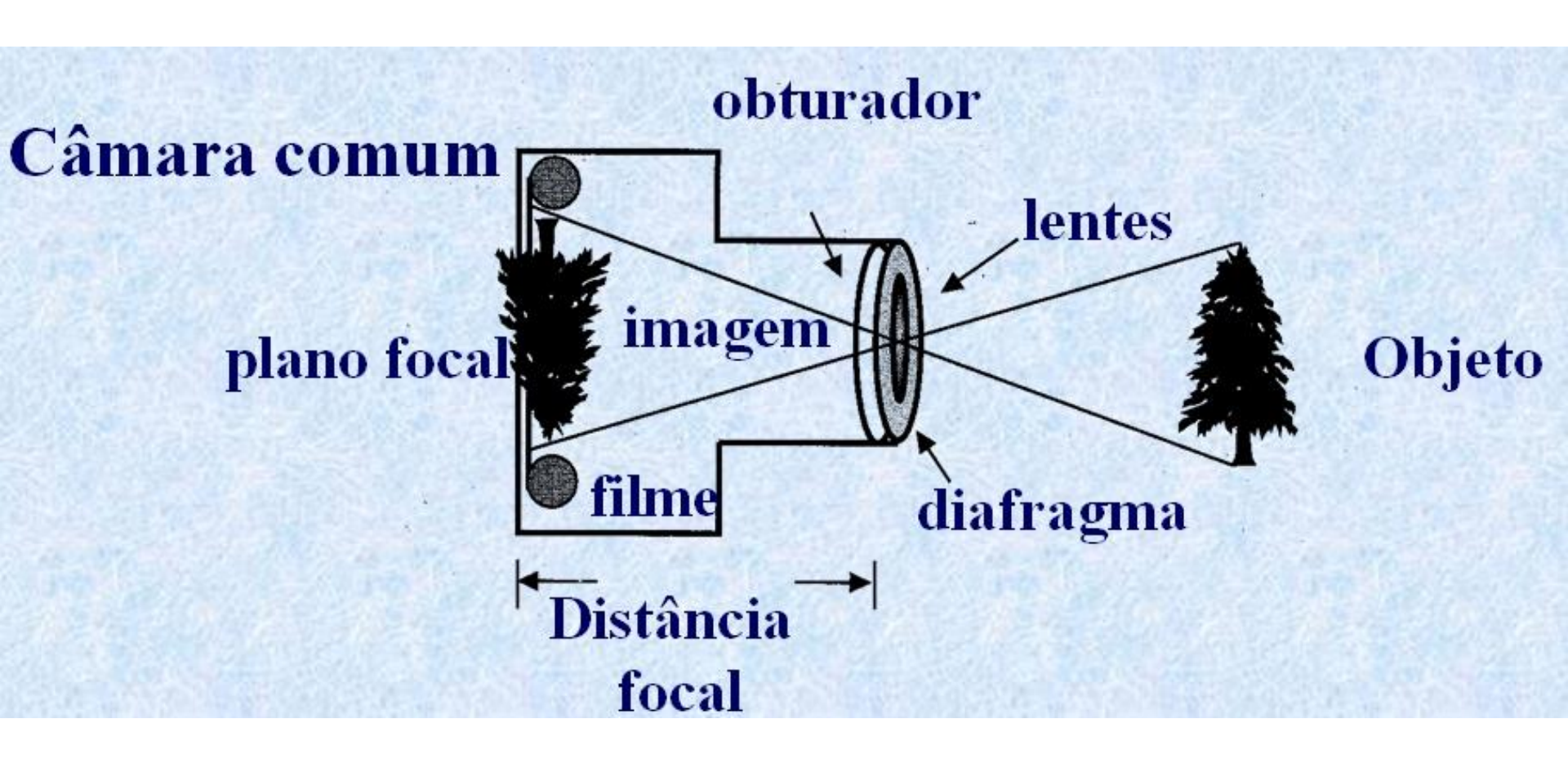
### Estereoscópio de Bolso



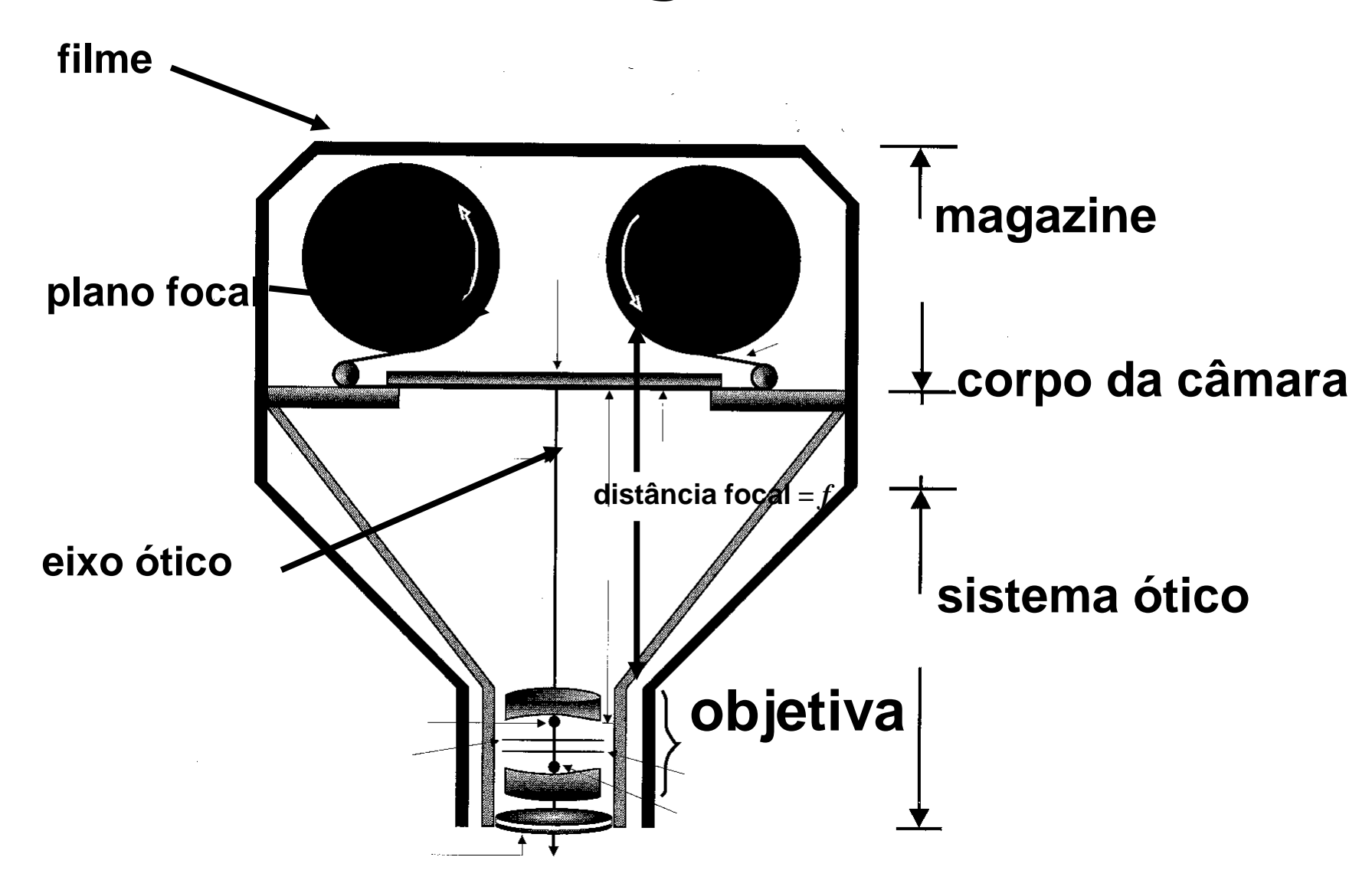
Estereoscópio de Espelho



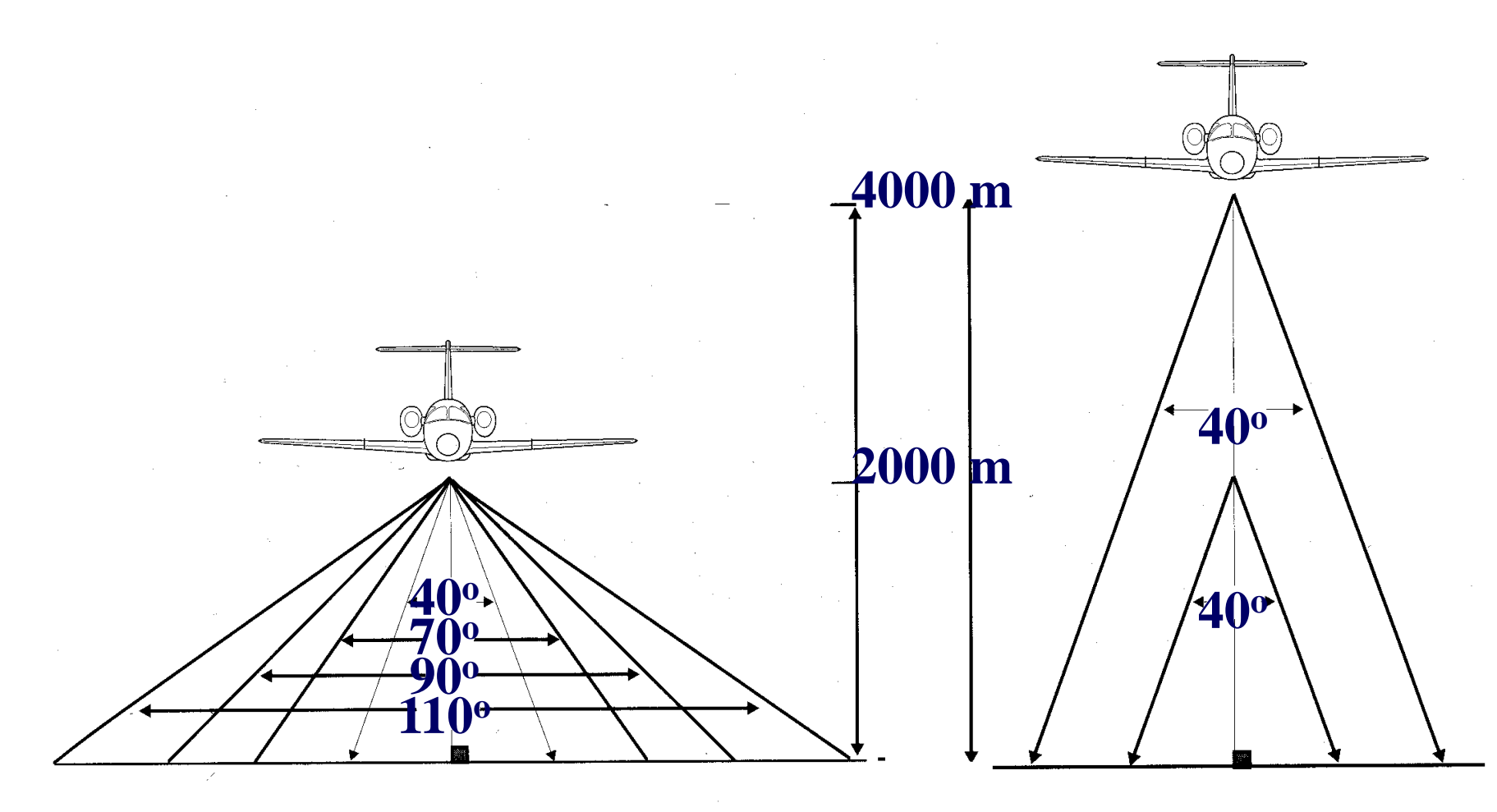
## Sensor Fotográfico



### **Sensor Fotográfico**



### Abertura da Objetiva

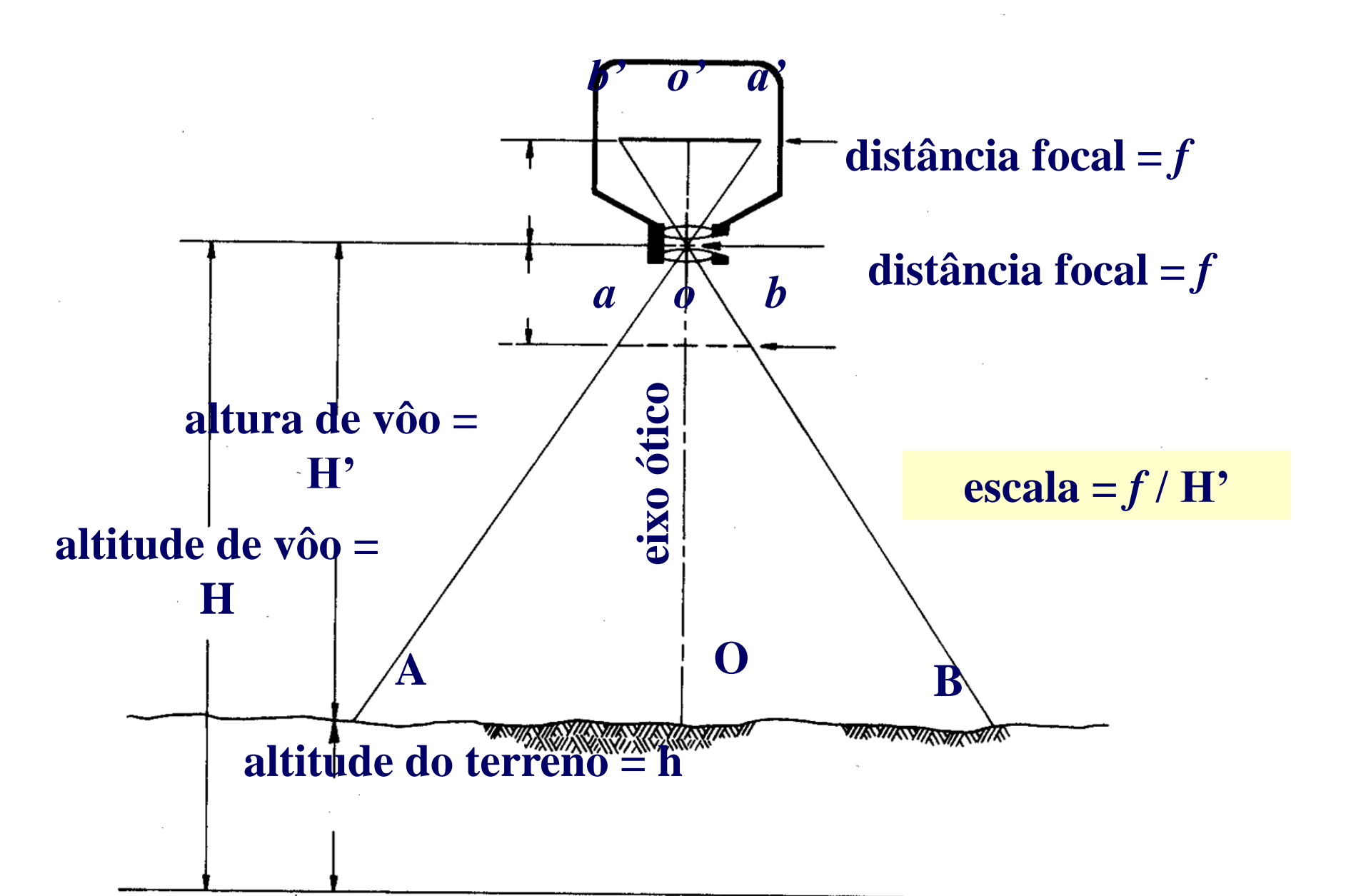


Normal: 219mm (60 graus)

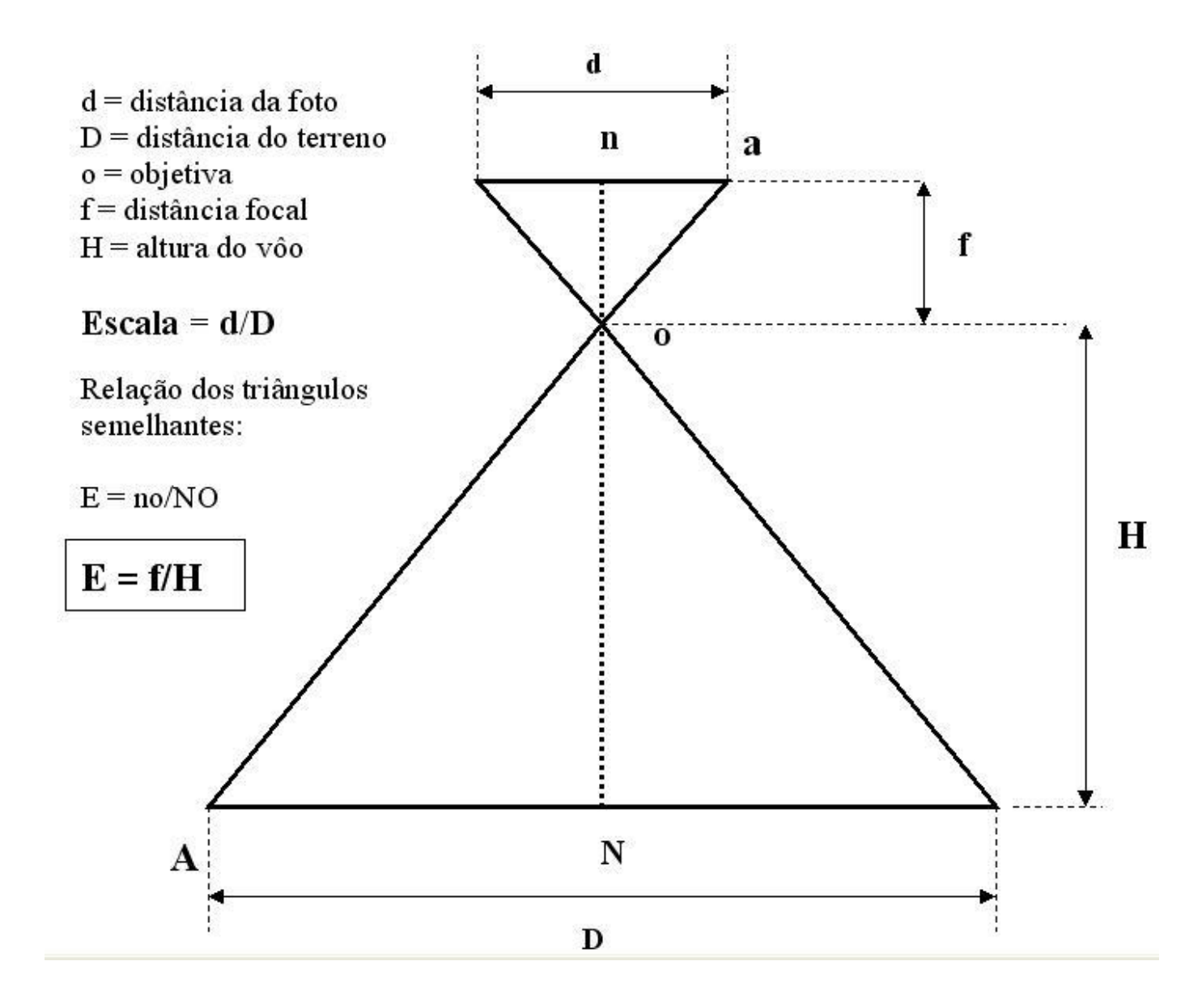
Grande angular: 152mm (90 graus)

Super grande angular: 90mm (120 graus)

# Fotografias Aéreas – Elementos



### Fotografias Aéreas – Elementos



# Definindo a escala da Foto (Exercício )

Tenho uma fotografia aérea tomada a uma altura de 3825 metros. A camera utiliza uma objetiva grande angular de 153mm.

Escala = distância focal (f)
Altura do voo (H)
$$= \frac{153 \text{mm}}{3825000 \text{mm}}$$

## Definindo a Escala da Foto (Exercício 2)

Um avião que está voando a uma altitude de 7565m para realizar o recobrimento aerofotogramétrico de um determinado território. Este avião está equipado com uma câmera objetiva normal típica. A cota média do terreno é de 740m. Qual a escala aérea resultante deste voo?

# Definindo a Escala da Foto (Exercício 2 - Resolução)

Altitude = 7565m Objetiva normal = 210mm Cota do Terreno = 740m Altura (H) = 7565-740=6825m

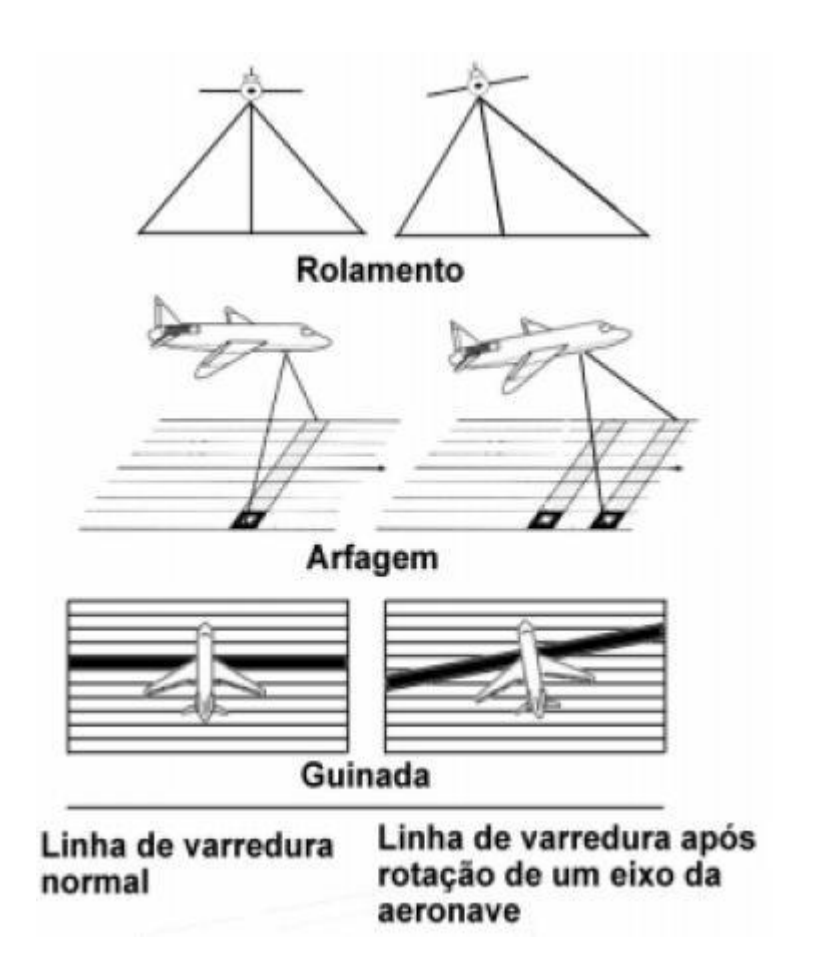
E = 210/6825000 = 1/32500

## Escala na Fotografia Aérea

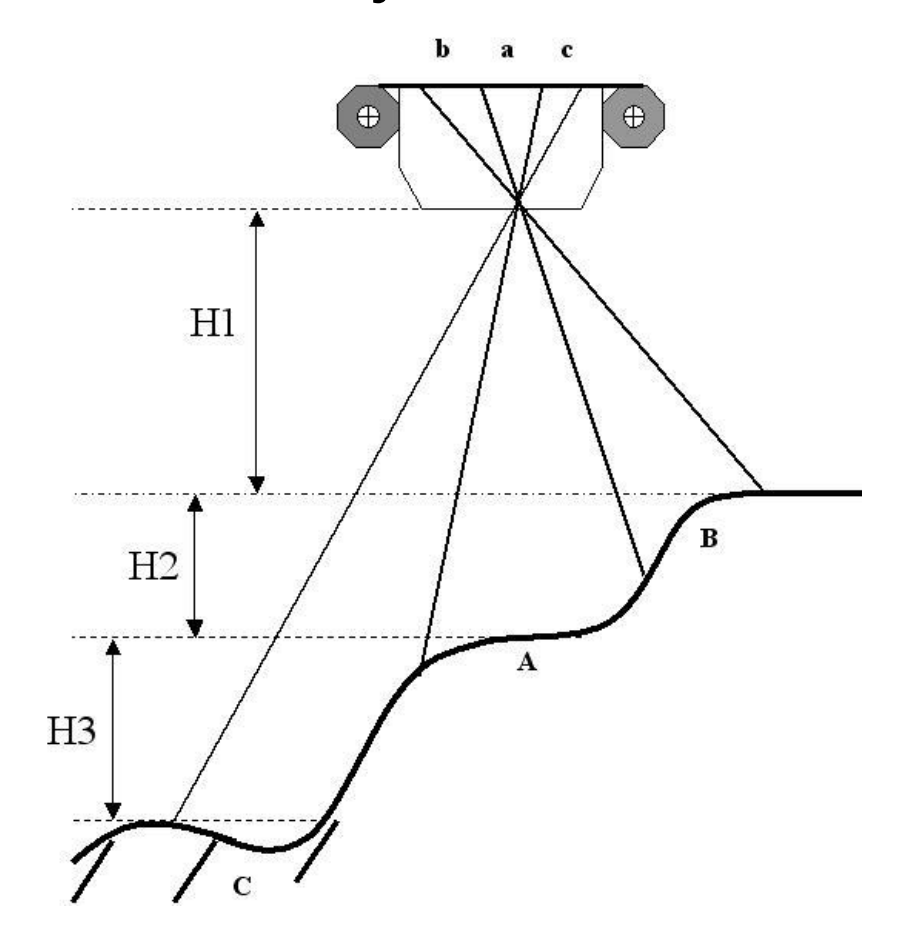
- **❖** Escala grande: > 1: 15000
- ❖ Escala média: 1: 15000-1:60000
- ❖ Escala pequena: <1:60000</p>

## Distorções

#### Perturbações no voo



#### Diferença de escala



## Distorções

O "efeito do deslocamento de relevo" varia de acordo com:

- Distância do ponto central da foto;
- Altura do objeto;
- É Inversamente proporcional a altura da plataforma.

Fotografia 1. Parque Vila Lobo, São Paulo, SP, Brasil.

## All Maps Lie Confins

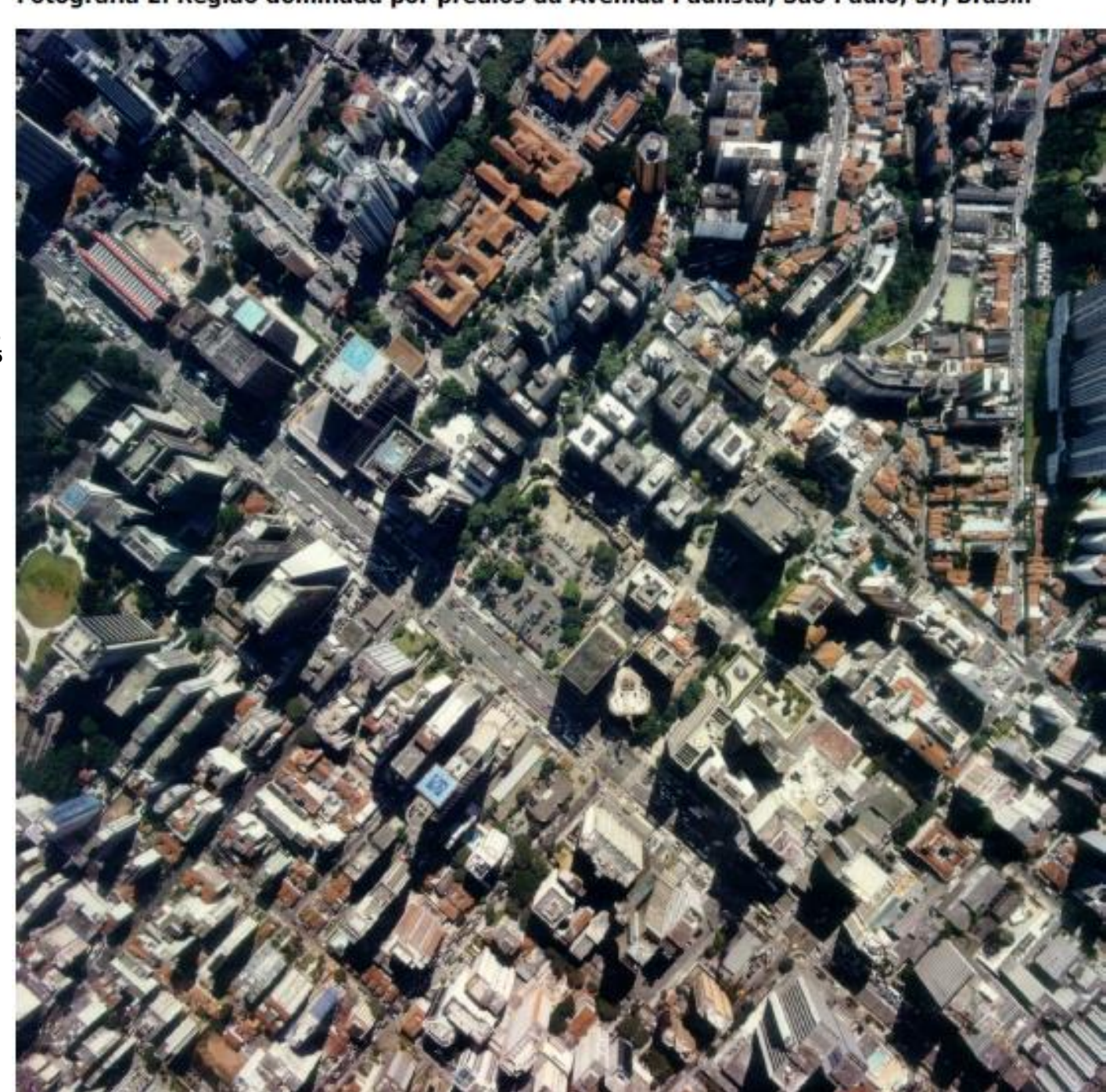
Confins [Online], 15 | 2012, posto online em 23 Junho 2012, Consultado o 25 Junho 2012. URL : http://confins.revues.org/7755



Fotografia 2. Região dominada por prédios da Avenida Paulista, São Paulo, SP, Brasil.

## All Maps Lie Confins

Confins [Online], 15 | 2012, posto online em 23 Junho 2012, Consultado o 25 Junho 2012. URL : http://confins.revues.org/7755



#### Preços e Prazos para o Levantamento em Escala 1: 1000

Trecho (km)	Valor unit. R\$/km	Prazo (dias)
1	38.700,00	30
5	36.220,00	60
20	35.598,00	180
50	32.750,00	360

#### Aerolevantamento

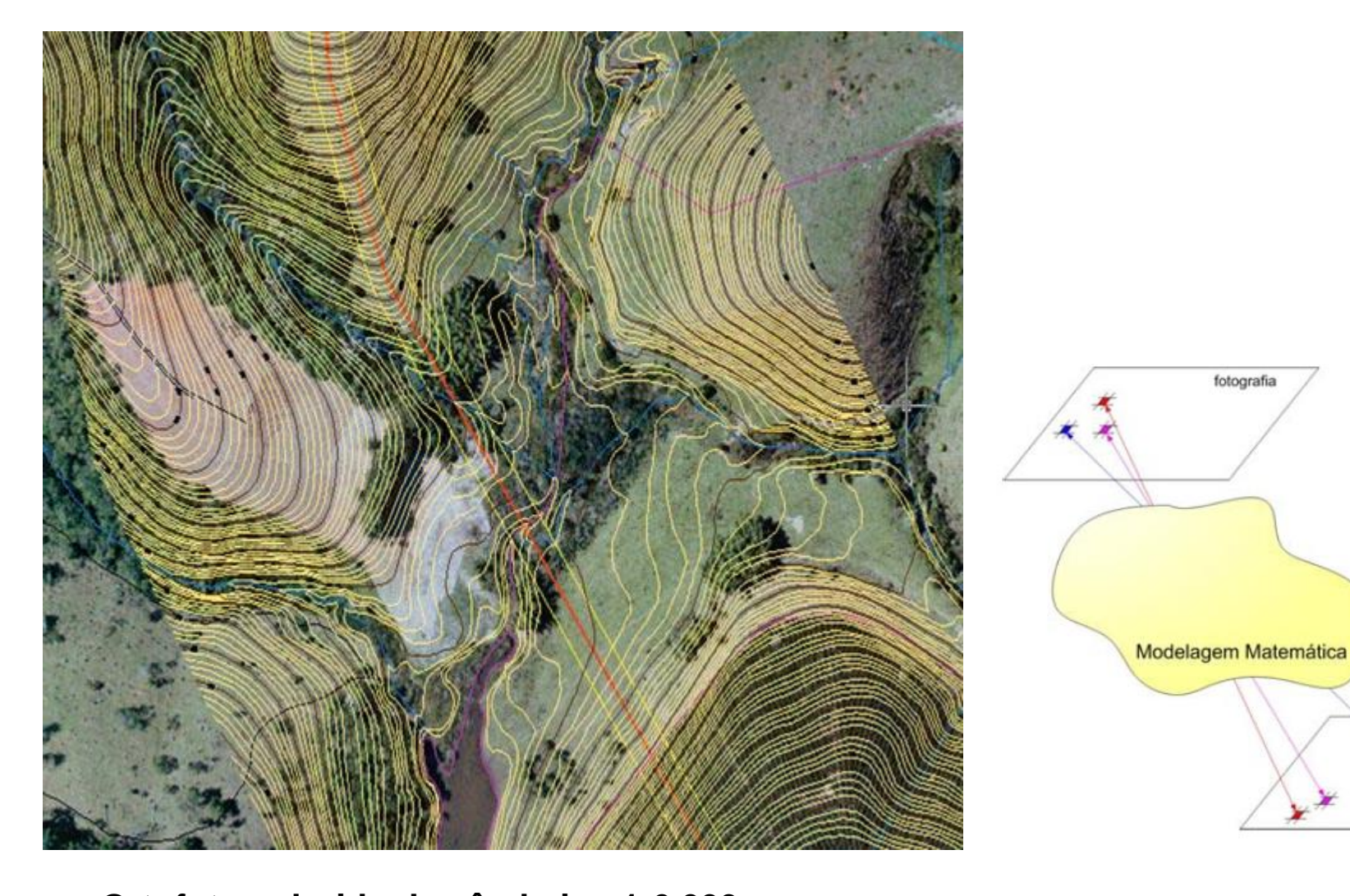
Trecho (km)	Valor unit. R\$/km	Prazo (dias)
1	45.000,00	60
5	21.000,00	60
20	18.000,00	60
50	16.800,00	90

Idoeta e Cintra (2003). Elaboração de bases cartográficas para projetos de engenharia: a relação entre produtor e usuário. In: XXI CONGRESSO BRASILEIRO DE CARTOGRAFIA, Belo Horizonte

## Ortorretificação de Fotografia Aérea

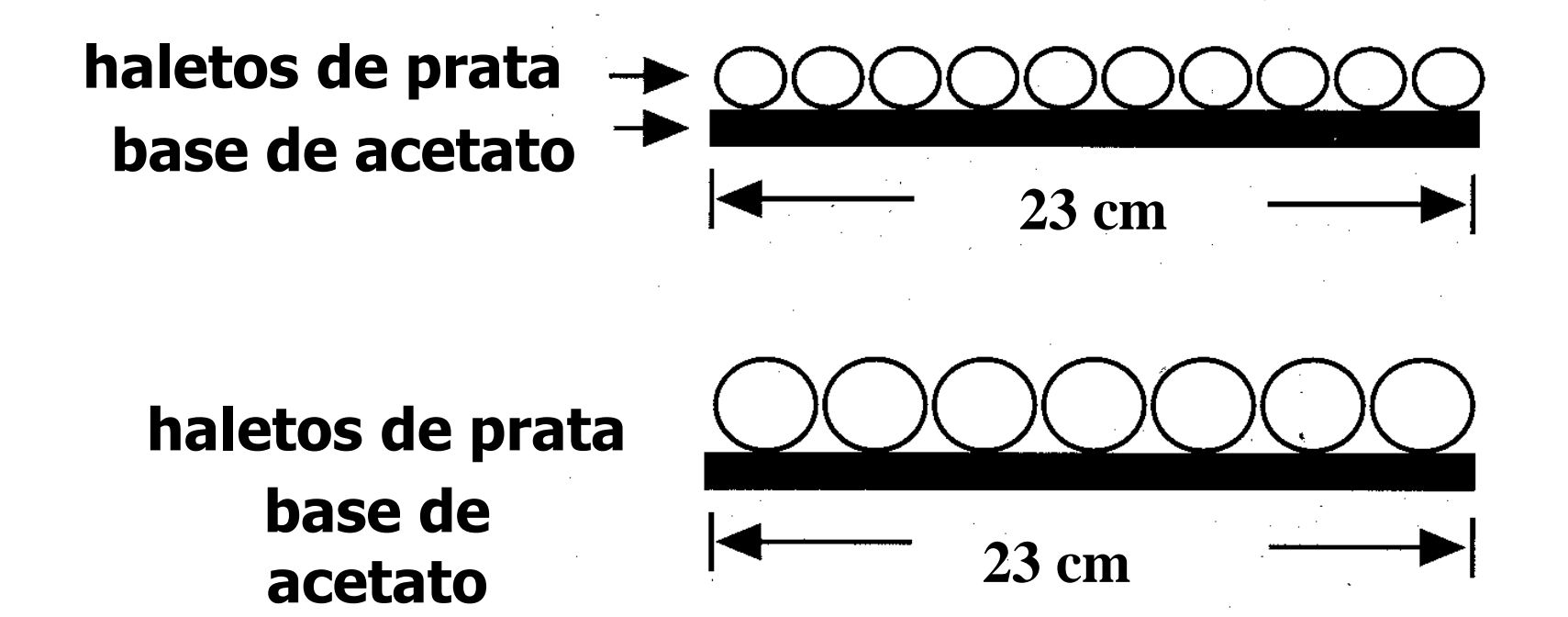
- Permitir seu uso como fonte direta de informação métrica;
- O rearranjo dos elementos presentes na fotografia em sua verdadeira posição permite a execução de medições;
- Agregar fidedignidade a imagem como fonte de informação;

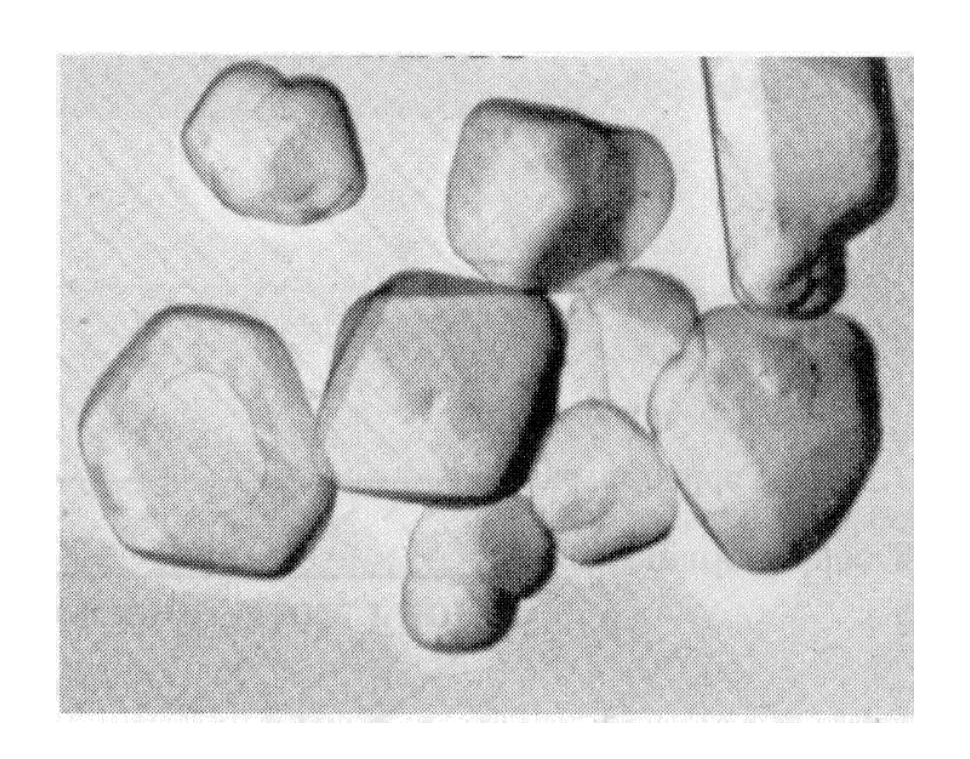
#### **Ortofotocarta**



ortoimagem

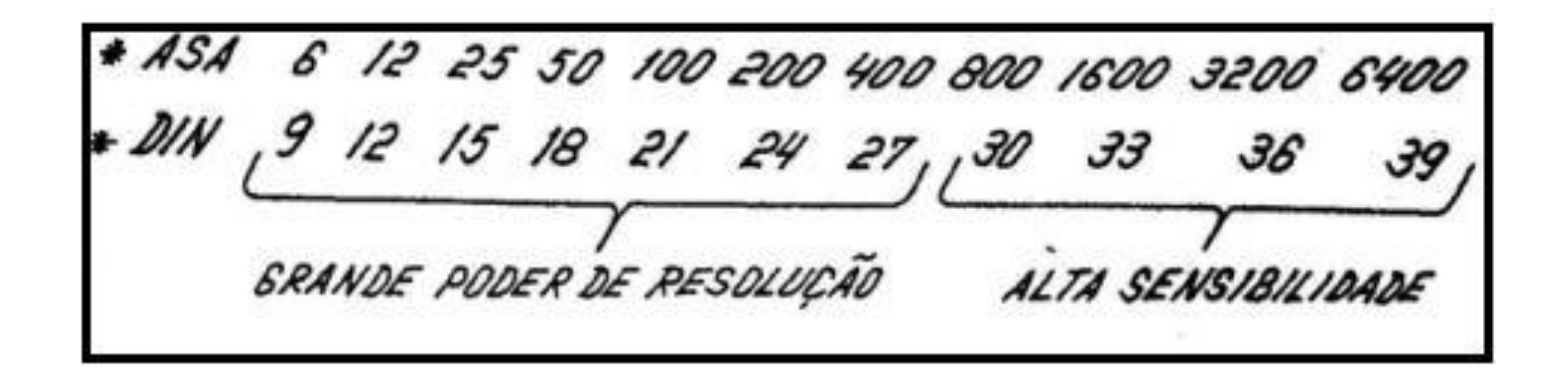
Ortofoto colorida de vôo baixo 1:6.000, com as curvas de nível a cada metro e as informações cadastrais Fonte: Mundo Geo





Cristais de haletos de prata

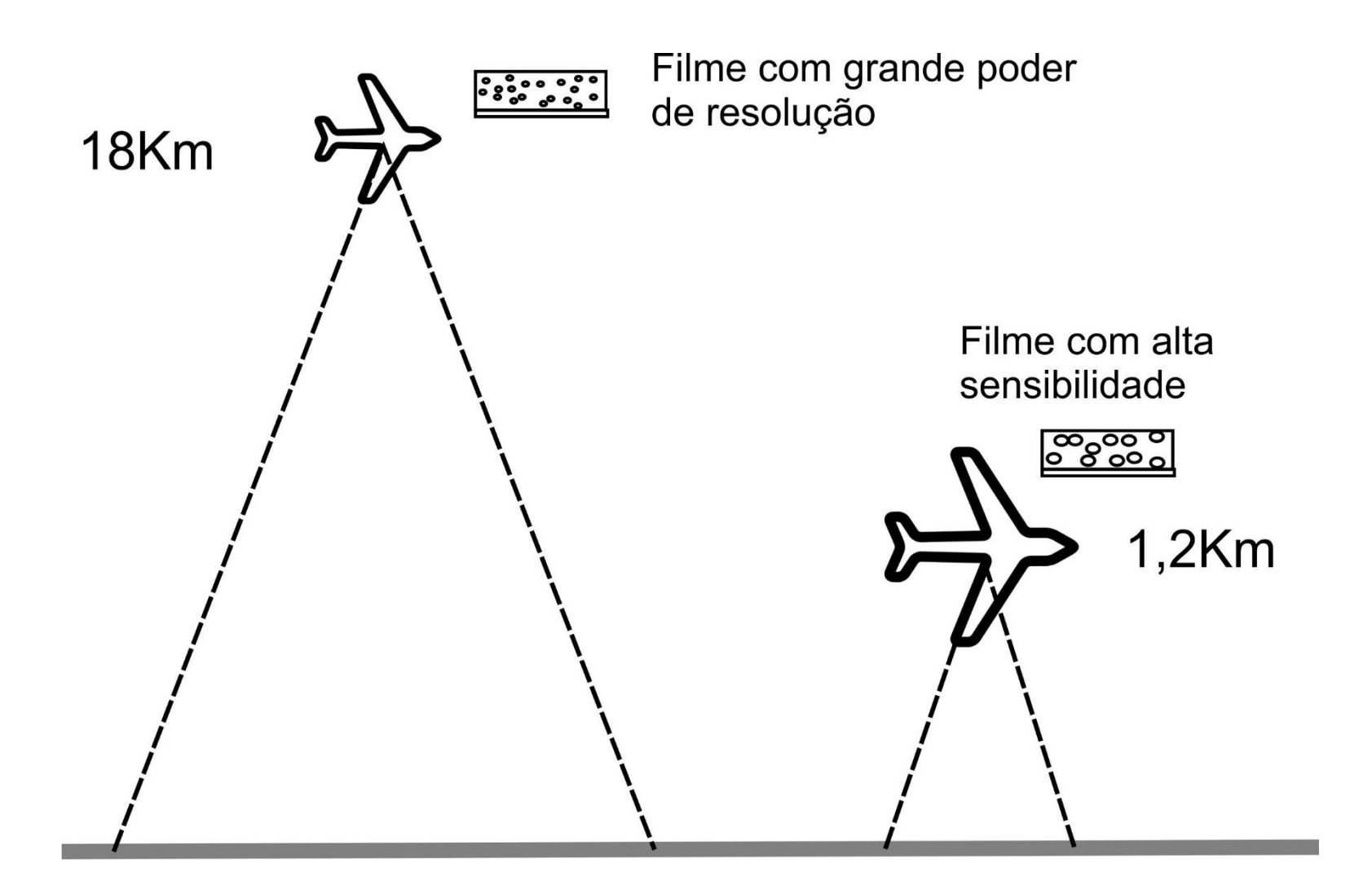
# Sensibilidade da Emulsão do Filme Fotográfico



A sensibilidade do filme aumenta com o tamanho dos cristais de prata.

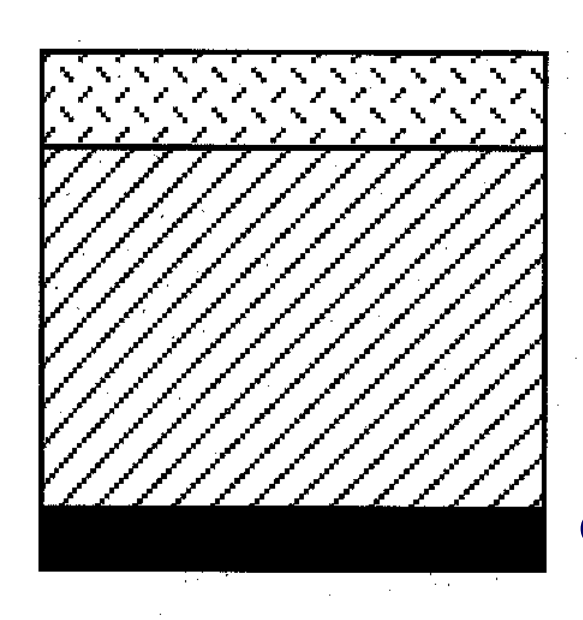
Em fotogrametria, podem ser usados tanto filmes de grande poder de resolução ou de alta sensibilidade. A escolhe irá depender da altura do voo.

## Sensibilidade da Emulsão do Filme Fotográfico



filme BP visível

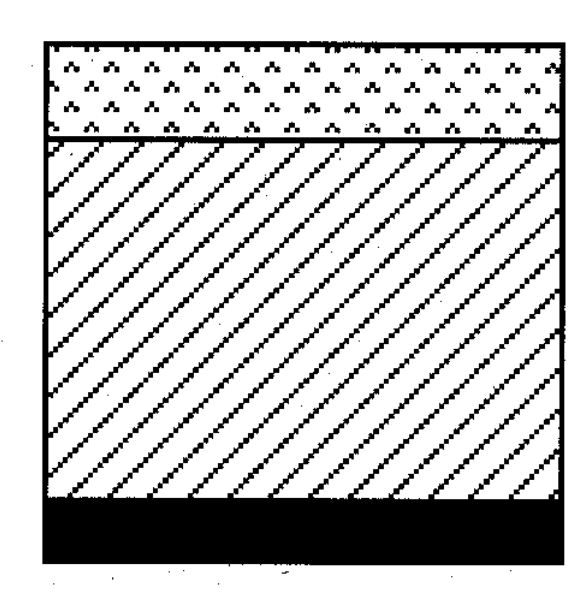
filme BP infravermelho



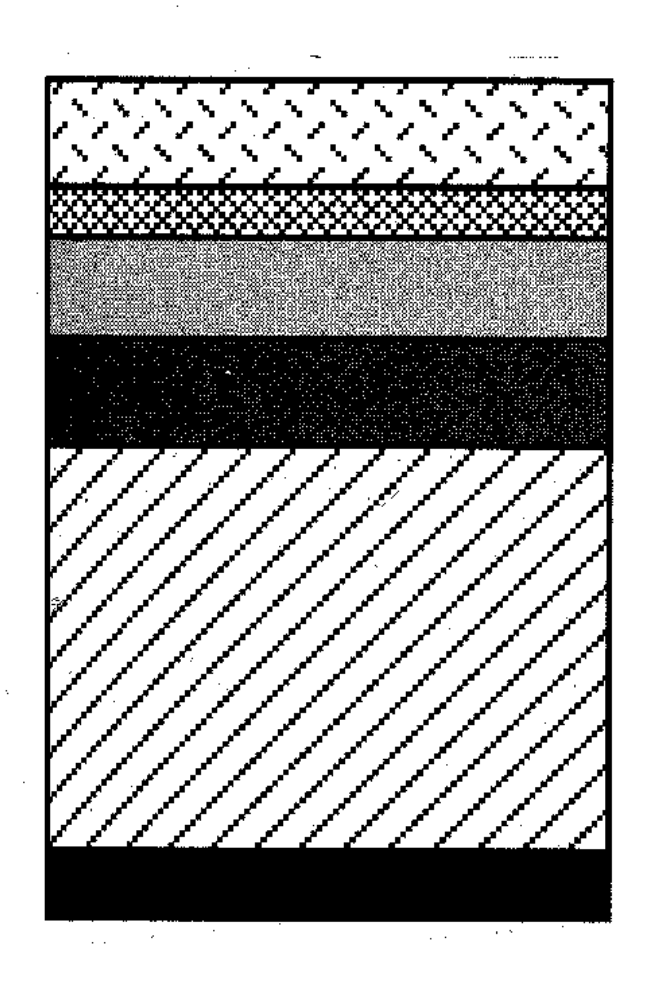
emulsão com haletos de prata

base de polyester

camada anti-halo



### Filme Colorido Normal



camada sensível ao azul filtro amarelo camada sensível ao verde camada sensível ao vermelho

base de acetato - polyester

camada anti-halo

## Fotografia Aérea x Mapa

- Mapa: projeção ortogonal (perpendicular a superfície de referência).
- ❖ Fotografia Aérea: projeção central (cônica).
- ❖ Mapa: a escala é constante.
- ❖ Fotografia Aérea: a e scala é aproximada.
- Mapa: as distorções residuais das fotografias são minimizadas.
- Fotografia Aérea: as distorções dependem do tipo de lente, do terreno, da altura dos objetos, das variações na linha de voo etc.

## Fotografia Aérea x Mapa

- Mapa: os objetos são selecionados de acordo com a generalização cartográfica. Inclui objetos "visíveis" e "invisíveis".
- Fotografia Aérea: somente inclui objetos visíveis.
- ❖ Mapa: representação abstrata.
- ❖ Fotografia Aérea: representação real.

### **Perguntas**

- Como os sensores podem ser classificados?
- Qual o potencial das imagens de radar SAR nos estudos geográficos?
- Como as fotografias aéreas são obtidas na fotogrametria?
- Como é calculada a escala da fotografia aérea?
- Quais são as principais distorções de uma fotografia aérea obtida por uma câmera métrica?
- ❖ Qual a importância da ortorretificação?